

МИНИСТЕРСТВО НАУКИ И ВЫСШЕГО ОБРАЗОВАНИЯ РОССИЙСКОЙ ФЕДЕРАЦИИ
федеральное государственное бюджетное образовательное учреждение
высшего образования
«Тольяттинский государственный университет»

Институт машиностроения

(наименование института полностью)

Кафедра «Проектирование и эксплуатация автомобилей»

(наименование кафедры)

23.05.01 Наземные транспортно-технологические средства

(код и наименование направления подготовки, специальности)

Автомобили и тракторы

(направленность (профиль)/специализация)

ДИПЛОМНЫЙ ПРОЕКТ

на тему Переднеприводный легковой автомобиль 2 класса.

Тормозная система с АБС

Студент

А.В. Букреев

(И.О. Фамилия)

(личная подпись)

Руководитель

А.В. Бобровский

(И.О. Фамилия)

(личная подпись)

Консультанты

О.М. Сярдова

(И.О. Фамилия)

(личная подпись)

А.Г. Егоров

(И.О. Фамилия)

(личная подпись)

А.Н. Москалюк

(И.О. Фамилия)

(личная подпись)

С.А. Гудкова

(И.О. Фамилия)

(личная подпись)

Допустить к защите

Заведующий кафедрой

к.т.н., доцент А.В. Бобровский

(ученая степень, звание, И.О. Фамилия)

(личная подпись)

« _____ » _____ 20 _____ г.

Тольятти 2019

АННОТАЦИЯ

Целью работы является проектирование тормозной системы с АБС для переднеприводного легкового автомобиля 2-го класса.

Графическая часть включает общий вид автомобиля, схему тормозной системы с АБС, детали входящие в состав тормозной системы, схему блока АБС, чертеж модулятора, чертеж главного тормозного цилиндра, графики тягово-динамического расчёта и расчёта коммерческой эффективности проекта.

В технико-экономическом обосновании приводится назначение и требования к тормозным системам, анализ конструкций тормозной системы и обоснование выбора проектируемой.

В разделе защиты интеллектуальной собственности приведен патентный поиск.

В конструкторской части приводится расчёт тяговой динамики и топливной экономичности автомобиля, проведен выбор компоновочной схемы тормозной системы, ее динамический расчет, а также рассчитаны основные параметры проекта, в том числе прочностной расчет деталей тормозной системы.

В технологической части выбран тип производства и определен уровень автоматизации сборочных работ.

В разделе по безопасности и экологичности объекта приведены общие требования для транспортных средств, а также методика испытаний тормозной системы автомобиля.

В экономической части проекта приводятся рассчитанные затраты на производство разрабатываемого узла, а также рассчитаны показатели финансовой выгоды проекта, в числе которых: расчет затрат, расчет себестоимости проектируемого изделия при промышленном производстве, расчёт затрат на основные материалы, определение затрат на покупные комплектующие детали и изделия.

Дипломный проект состоит из пояснительной записки на 92 страницах печатного текста и графической части на 9 листах формата А1. _____

ANNOTATION

The aim of the work is to design a brake system with ABS for a front-wheel drive car of the 2nd class.

The graphic part includes a general view of the car, a brake system diagram with ABS, parts included in the braking system, an ABS block diagram, a modulator drawing, a drawing of the brake master cylinder, and charts for dynamic calculation and calculation of the commercial efficiency of the project.

The feasibility study outlines the purpose and requirements for brake systems, the analysis of brake system structures and the rationale for the design choice.

The intellectual property protection section provides a patent search.

In the design part, the calculation of the traction dynamics and fuel economy of the car is given, the layout of the brake system is selected, its dynamic calculation, and the main parameters of the project, including the strength calculation of the braking system parts, are calculated.

In the technological part, the type of production has been chosen and the level of automation of assembly work has been determined.

In the section on safety and environmental friendliness of the facility, the general requirements for vehicles, as well as the method of testing the braking system of the vehicle are given.

In the economic part of the project, the calculated costs for the production of the developed unit are given, as well as indicators of the financial profitability of the project are calculated, including: costing, costing the designed product for industrial production, costing basic materials, determining the cost of purchased component parts and products.

The graduation project consists of an explanatory note on 92 pages of printed text and the graphic part on 9 sheets of A1 format.

СОДЕРЖАНИЕ

| | |
|---|----|
| ВВЕДЕНИЕ | 6 |
| 1 Состояние вопроса | 7 |
| 1.1 Назначение и устройство тормозной системы | 7 |
| 1.2 Требования к тормозным системам | 14 |
| 1.3 Классификация тормозных систем | 16 |
| 1.4 Обзор тенденций развития тормозных систем | 19 |
| 1.5 Выбор и обоснование принятого варианта конструкции | 28 |
| 2 Защита интеллектуальной собственности | 30 |
| 2.1 Патентный поиск | 30 |
| 2.2 Выводы и рекомендации | 42 |
| 3 Конструкторская часть | 45 |
| 3.1 Тягово-динамический расчет автомобиля | 45 |
| 3.1.1 Исходные данные | 45 |
| 3.1.2 Определение полной массы автомобиля | 45 |
| 3.1.3 Подбор шин | 46 |
| 3.1.4 Выбор двигателя и построение его внешней скоростной характеристики | 47 |
| 3.1.5 Определение передаточного числа главной передачи | 50 |
| 3.1.6 Выбор числа передачи и определение передаточных чисел коробки передач | 51 |
| 3.1.7 Тяговая и динамическая характеристика автомобиля | 52 |
| 3.1.8 Ускорение автомобиля | 53 |
| 3.1.9 Определение времени и пути разгона | 54 |
| 3.1.10 Топливная экономичность автомобиля | 55 |
| 3.1.11 Мощностная характеристика двигателя | 60 |
| 3.2 Выбор компоновочной схемы тормозной системы | 62 |
| 3.3 Динамический расчет тормозной системы | 65 |
| 3.3.1 Определение параметров тормозной системы механизмов рабочей тормозной системы | 65 |

| | | |
|-------|--|----|
| 3.3.2 | Определение параметров тормозных механизмов стояночной тормозной системы | 66 |
| 3.4 | Выбор деталей, подлежащих расчету, определению нагрузочных режимов | 67 |
| 3.5 | Расчет деталей на прочность | 68 |
| 3.6 | Разработка вспомогательных механизмов | 72 |
| 4 | Технологическая часть | 76 |
| 4.1 | Выбор типа производства | 77 |
| 4.2 | Выбор маршрута сборки | 78 |
| 4.3 | Определение уровня автоматизации сборочных работ | 78 |
| 5 | Безопасность и экологичность объекта | 81 |
| 5.1 | Влияние транспортных средств с антиблокировочной системой на безопасность водителя | 81 |
| 5.2 | Методика испытаний тормозной системы автомобиля | 83 |
| 6 | Эффективность проекта | 86 |
| 6.1 | Расчет затрат | 86 |
| 6.2 | Расчет себестоимости проектируемого изделия при промышленном производстве | 87 |
| 6.2.1 | Расчет затрат на основные материалы | 87 |
| 6.2.2 | Определение затрат на покупные комплектующие детали изделия | 88 |
| 6.2.3 | Заработная плата основных рабочих | 88 |
| | ЗАКЛЮЧЕНИЕ | 93 |
| | СПИСОК ИСПОЛЬЗУЕМЫХ ИСТОЧНИКОВ | 94 |

ВВЕДЕНИЕ

Результативное применение автомобильного транспорта, период его работы в основном формируются состоянием элементов управления. Тормозная система является обязательной составляющей нынешнего автомобиля и гарантирует требуемую управляемость, солидную надежность и защищенность эксплуатации. Инновационные тормозные системы являются сложными и дорогостоящими устройствами. По этой причине полное понимание техническими кадрами транспортных специальностей проблем конструкции, расчета, проектирования и технологического обслуживания тормозных систем даст возможность не только совершеннее применять потенциал нынешнего автомобиля, однако и сохранять его в непрерывном рабочем техническом состоянии.

С постоянным развитием технологий, современные машины с каждым годом становятся все сложнее. Данное утверждение относится абсолютно всех в отсутствии изъята систем и механизмов, в том числе и тормозящий системы.

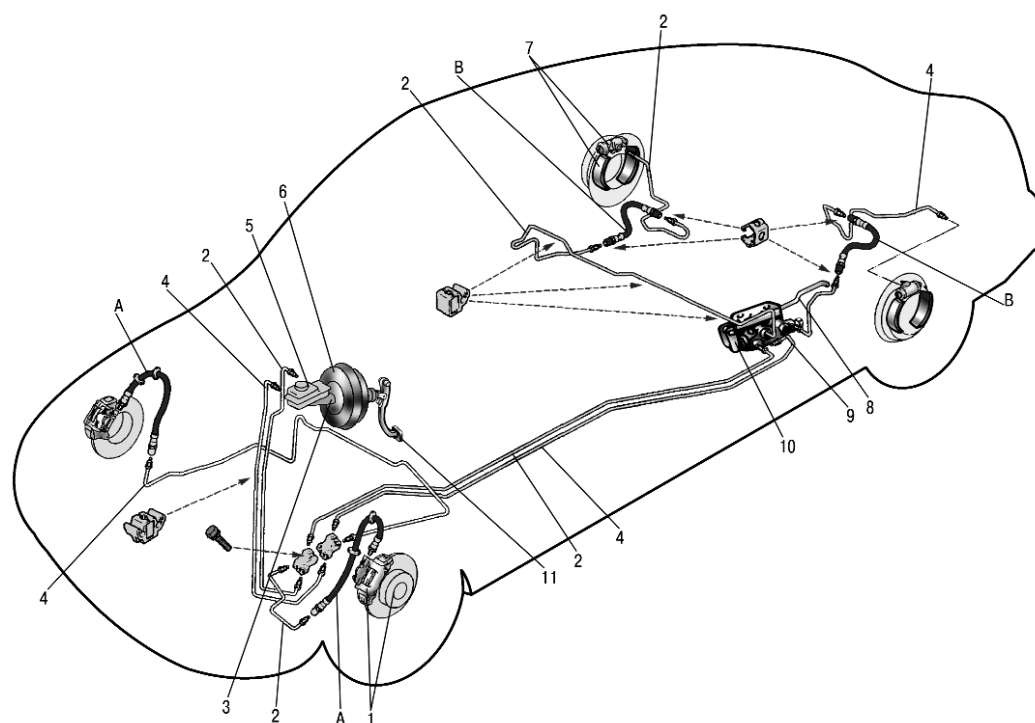
«Тормозная система – наиболее важная из систем автомобиля. Ваша жизнь, жизнь ваших пассажиров, пешеходов и других автомобилистов на дороге зависят от надежности тормозов.»

Для более глубокого анализа конструкций тормозных систем в работе приводится краткая теория их рабочих процессов.

Цель проекта – улучшить характеристики автомобиля, а именно управляемость, устойчивость, надежность и безопасность автомобиля при движении в экстремальных режимах.

1 Состояние вопроса

1.1 Назначение устройств тормозной системы



«1—тормозной механизм переднего колеса; 2—гибкий шланг переднего тормоза; 3— трубопровод контура левый передний—правый задний тормоза; 4— главный цилиндр гидропривода тормозов; 5— трубопровод контура правый передний—левый задний тормоза; 6— бачок главного цилиндра; 7—вакуумный усилитель; 8— тормозной механизм заднего колеса; 9—гибкий шланг заднего тормоза; 10— регулятор давления; 11—педаль тормоза»

Рисунок 1.1 – Устройство тормозной системы автомобиля ВАЗ-2112

«Работа гидравлического тормоза во всех автомашинах основана на законах гидравлики.» Когда водитель автомобиля нажимает на тормозную педаль, сила, прикладываемая к главному цилиндру, преобразуется в давление в системе и распространяется через тормозные трубки к рабочим тормозным цилиндрам или тормозным суппортам. Тормозные колодки прижимаются к барабанам или дискам, создавая трение, которое преобразует кинетическую энергию перемещающегося автомобиля в тепло и замедляет автомобиль.

Составляющие современную тормозную гидросистему компоненты лишь незначительно отличаются от показанных на иллюстрациях.

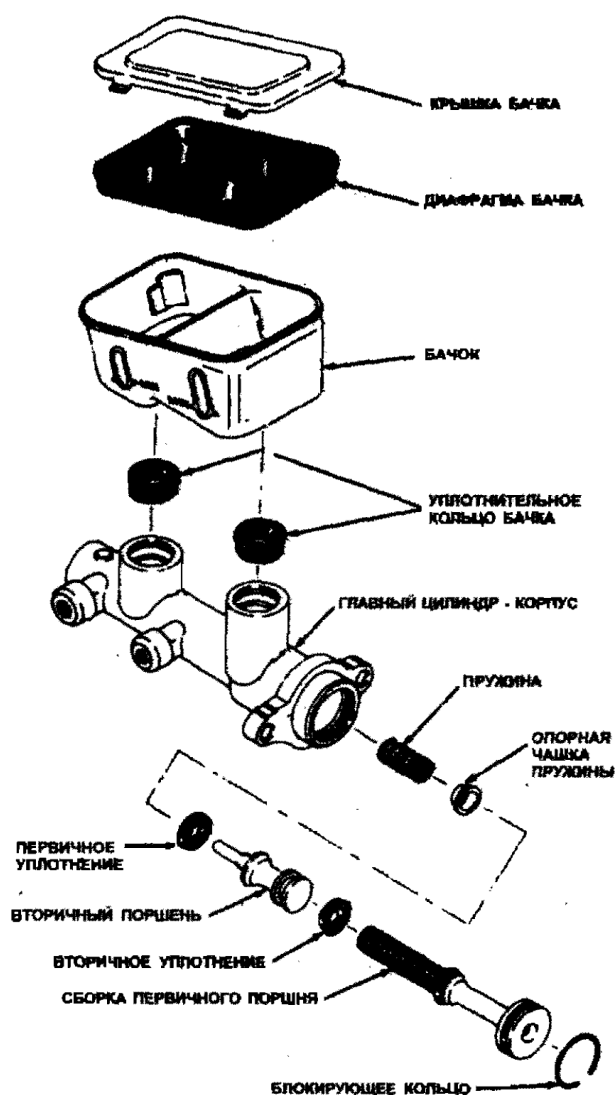
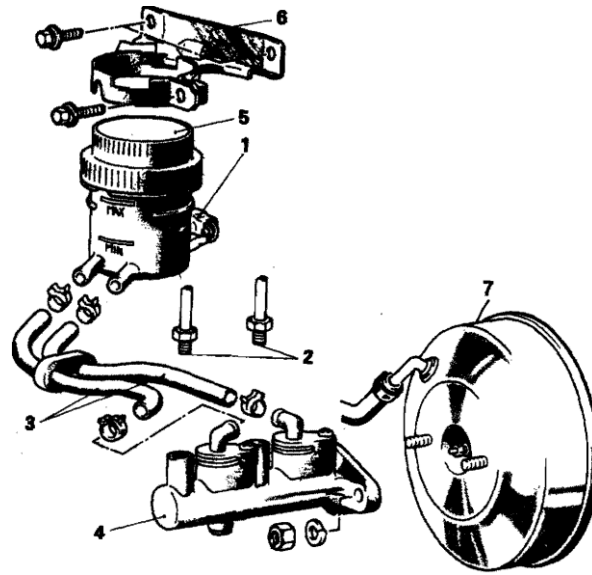


Рисунок 1.2 – Компоненты главного цилиндра съемным резервуаром

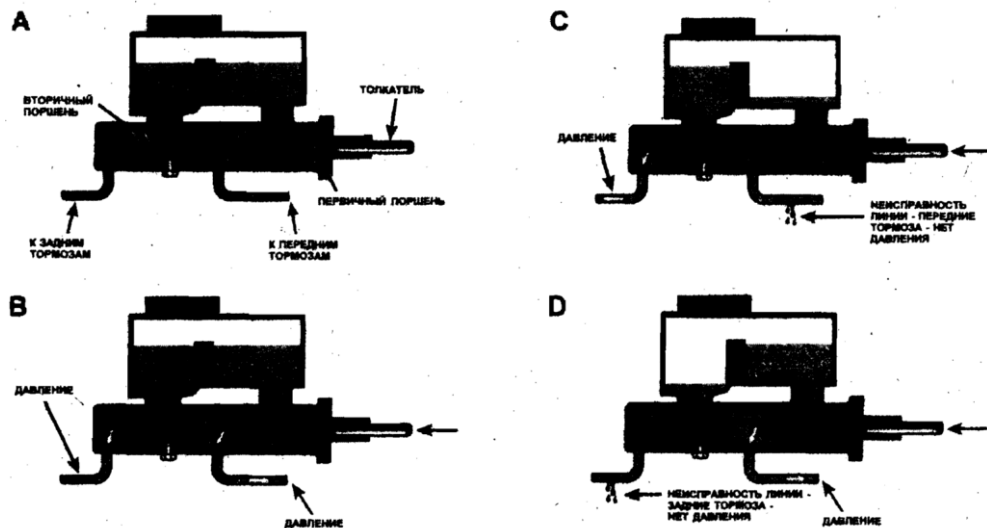
«Главный цилиндр преобразует механическую силу нажатия на педаль в гидравлическое давление. Сила, прилагаемая водителем к педали тормоза, передается к поршню главного цилиндра через штангу-толкатель. При движении поршня в цилиндре, тормозная жидкость выдавливается из главного цилиндра. А так как система заполнена жидкостью, то это движение без изменений передается через тормозные трубки и шланги к рабочим тормозным цилиндрам или суппортам. Как только движение в рабочих тормозных цилиндрах или суппортах прекращается, давление в системе начинает повышаться. Дальнейшее дв

ижение компонентов невозможно, но давление в системе будет увеличиваться, если водитель начнет сильно давить на педаль тормоза.»



«1—соединитель датчика уровня жидкости; 2—тормозные трубки; 3—шланги, соединяющие резервуар с главным цилиндром; 4—главный цилиндр; 5—резервуар; 6—кронштейн резервуара; 7—тормозной сервоусилитель»

Рисунок 1.3 – Расположение компонентов главного тормозного цилиндра с отдельным резервуаром



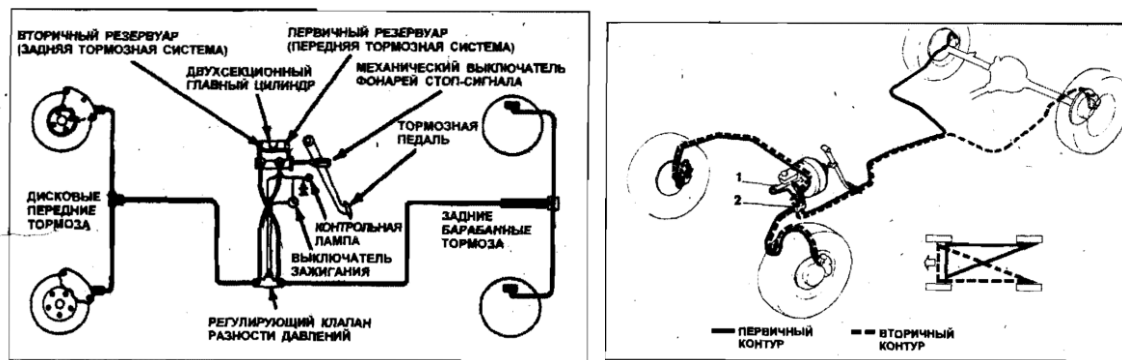
«А—

главный цилиндр в выпущенном положении. Камеры перед поршнями заполнены и готовы к нажатию педали тормоза; В—

при нажатии педали тормоза давление передается к главному цилиндру через штангу-толкатель. Поршни движутся, создавая давление в гидропроводах; С – в гидропровод на передний тормоз появился утечка; D – утечка в заднем контуре»

Рисунок 1.4 – Схема работы двухсекционного тормозного цилиндра в обычном режиме и в случае неисправности одного контура

Главные цилиндры изготовлены из чугуна или алюминия. На большинстве автомобилей главный цилиндр установлен на термоизоляционном щитке или тормозном сервоусилителе. Некоторые имеют несъемные питательные бачки, другие – съемные из пластмассы. Другие вообще имеют отдельные резервуары, которые соединены с главным цилиндром шлангами. Резервуар необходим для содержания дополнительной жидкости, чтобы компенсировать износ колодок и их движение. Резервуары обязаны быть вентилируемы, чтобы уровень жидкости мог двигаться вверх и вниз без создания вакуума в системе.



а) б)

а – поперечными контурами; б – струеугольным контуром; 1 – главный цилиндр; 2 – клапан управления разностью давлений

Рисунок 1.5 – Тормозные системы

«Рабочие тормозные цилиндры применяются в барабанных тормозах. Они преобразуют гидравлическое давление, созданное главным тормозным цилиндром

,вмеханическуюсилу,котораятолкаеттормозныеколодки,прижимаяихкбарабану.»

Рабочие тормозные цилиндры обычно изготавливаются из чугуна. Чаще всего рабочий тормозной цилиндр имеет два поршня (обычно алюминиевые), две резиновые манжеты, распорки манжет пружиной между ними (см. иллюстрацию). В некоторых конструкциях используются толкатели, соединенные с тормозными колодками. На каждом конце рабочего тормозного цилиндра имеется резиновый чехол, который изолирует блок от пыли, образовавшейся в результате износа колодок, и прочей грязи.

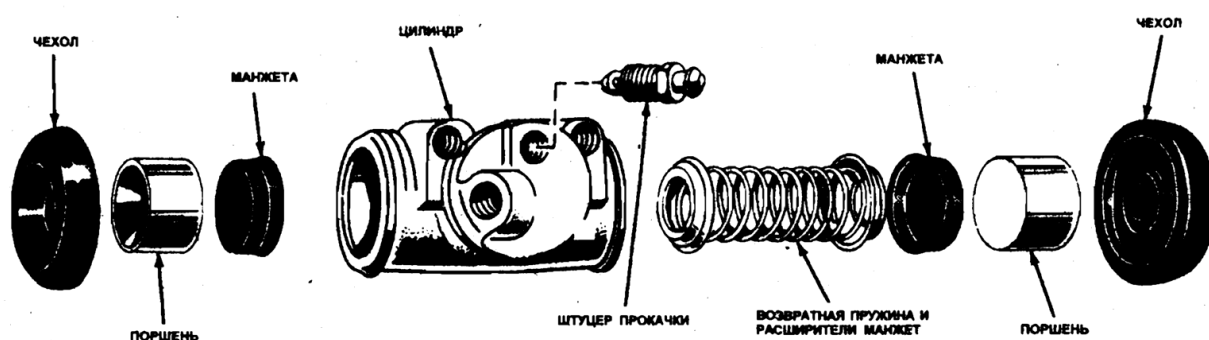


Рисунок 1.6 – Компоненты тормозного цилиндра

«Тормозные суппорты, используемые на дисковых тормозных механизмах, изготовлены в виде рамок, в которой крепятся тормозные колодки и гидравлически цилиндры.

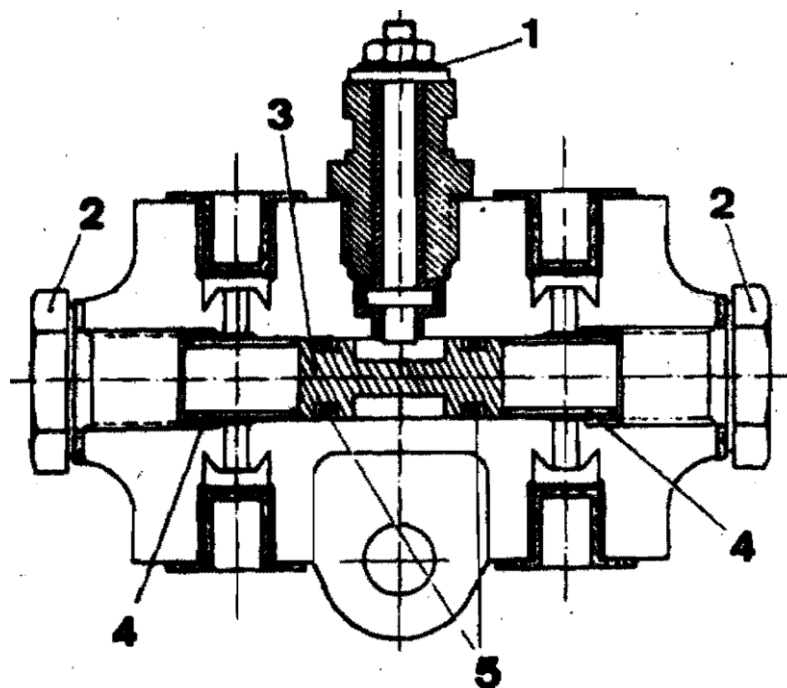
Цилиндры преобразуют давление в системе из главного цилиндра в механическую силу. Эта сила прижимает тормозные колодки к диску, замедляя автомобиль. Суппорты более детально будут рассматриваться при описании дисковых тормозных механизмов.

Датчик разности давлений используется в системах с главным и тормозными цилиндрами с двумя поршнями, и помощью световой индикации оповещает водителя о частичной неисправности тормозной системы.»

Чаще всего контроль разности давлений в тормозной гидросистеме осуществляется в нисходящем потоке главного цилиндра, но в отдельных случаях – в корпусе главного цилиндра. Как уже было сказано ранее в этом разделе, если изстр

о выходит часть двухконтурной тормозной системы, другая половина тормозной системы остается функционирующей. Для остановки автомобиля требуется больше усилия на педаль.

Датчик разности давлений оповестит водителя о неисправности. Оба контура системы связаны с этим датчиком. Между каналами контуров расположен маленький гидравлический поршень.



1—выключатель контрольной лампы; 2—торцевые заглушки; 3—поршень;
4—пружины; 5—уплотнения

Рисунок 1.7 – Датчик разности давлений

Нараннихавтомобилях устанавливались барабанные тормоза. Они не были похожи на барабанные тормоза современных автомобилей. Они работали аналогично ремню в автоматической трансмиссии. Тормозная накладка окружала внешнюю поверхность барабана и при торможении туго зажимала его.

Эффективность торможения значительно возросла, когда конструкторы стали использовать внутреннюю поверхность барабана. Это помогло изолировать компоненты тормоза от внешних воздействий; а также значительно увеличить пове

рхность барабана, контактирующую с воздухом, тем самым ускоряя его охлаждение.

«Основные узлы барабанных тормозных механизмов – барабан, тормозные колодки, опорный щит, рабочий (колесный) тормозной цилиндр, и различные приспособления, необходимые для крепления и соединения компонентов (см. иллюстрации). Сборки задних барабанных тормозов также имеют само регулирующиеся компенсаторы зазора, чтобы колодки всегда находились на определенном расстоянии от барабана.»

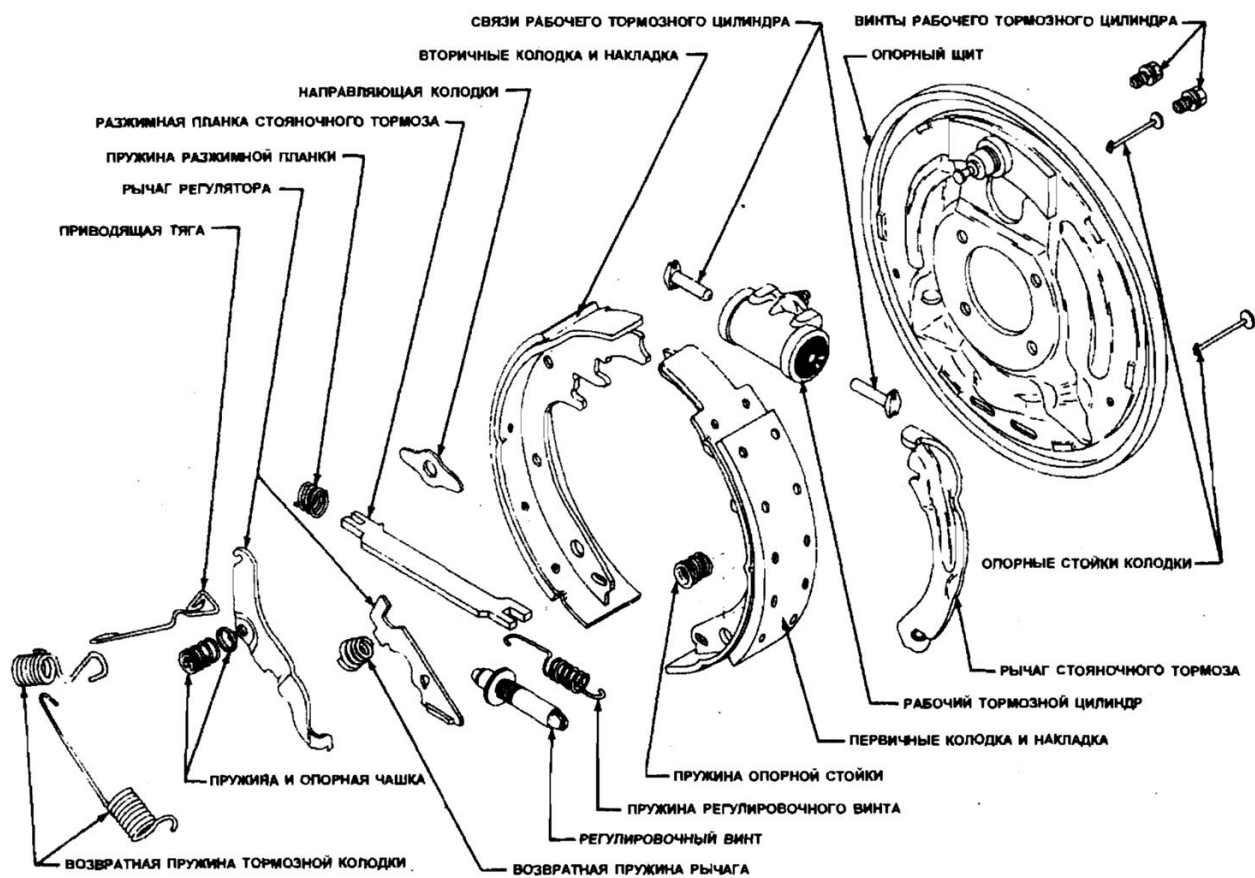


Рисунок 1.8–

Компоненты барабанного тормозного механизма последовательно прижимаем
 ЫМИ КОЛОДКАМИ

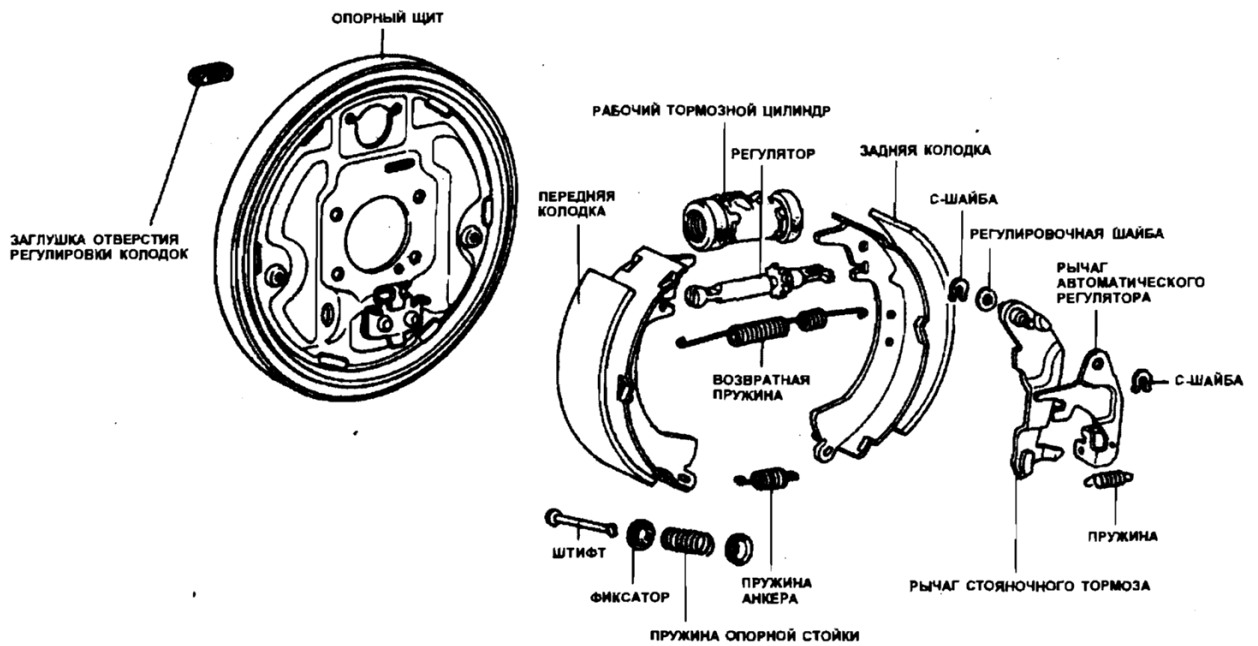


Рисунок 1.9 – Компоненты барабанного тормозного механизма с ведущей/ведомой колодками

1.2 Требования к тормозным системам

К тормозным системам предъявляются следующие основные требования:

- минимальный тормозной путь или максимальное замедление при аварийном торможении.

Выполнение этого требования обуславливает не только повышение безопасности движения, но и полное использование тяговых возможностей автомобиля, т.е. $V_{ср}$ движения.

«Требуемыми условиями

для получения минимального тормозного пути являются минимальное время срабатывания тормозного привода, одновременное торможение всех колес, возможность для водителя довести тормозные усилия на колесах до максимального значения и обеспечения надлежащего распределения тормозных усилий между колесами.»

- сохранение устойчивости автомобиля при торможении. Это повышает эффективность торможения автомобиля при движении на скользкой дороге и так же способствует

ует повышению безопасности движения.

Для выполнения этого требования необходимо, чтобы усилия на левых и правых колесах автомобиля при торможении были одинаковы и чтобы тормозные усилия надлежащим образом распределялись между передними и задними колесами.

-
сохранение удобства езды для пассажиров. Выполнение этого требования возможно при плавном нарастании тормозной силы и пропорциональности усилия на педаль тормозной силе.

-
облегчение условий работы водителя (особенно водителя автобуса), необходимое также из-за частого пользования тормозами (до 2—3 торможений на 1 км при городском движении средней интенсивности). Усилие на тормозной педали не должно превосходить 50 кг (для легковых автомобилей при служебном торможении) и 2—15 кг (при ходе педали не более 150 мм для легкового автомобиля и 180 мм для грузового; усилие на рычаге тормоза не должно быть выше 40 кг при наибольшем ходе рычага до 300 мм). Выполнение этого требования достигается надлежащим выбором передаточных чисел тормозной системы, достаточной жесткостью тормозного привода и малыми внешними потерями.

«Кроме того, сиденье должно быть таким, чтобы посадка водителя была удобной: спина упиралась в спинку сиденья, а усилие создавалось коленным суставом. Обследования показывают, что в этом случае водитель может создать на педали усилие, превышающее его вес на 10—20%, т.е. практически 70—80 кг на грузовых автомобилях и автобусах с тормозной системой, действующей от постороннего источника энергии; работу водителя облегчают введение педали шарниром у каблука, при котором максимальному торможению соответствует усилие 20—25 кг.»

Наибольшее усилие на рычаге ручного тормоза (до 50—70 кг) можно получить при таком расположении рычага, когда усилие направлено снизу вверх.

-
сохранение тормозных качеств автомобиля при неоднократном торможении. Это требование связано с нагревом тормозов в возможном при этом нарушении их действия, в частности, падении коэффициента трения фрикционных пар.

-
длительное сохранение тормозных качеств в процессе эксплуатации. Для выполнения этого требования необходимо, чтобы износ трущихся элементов был малым и равномерным, а регулировка рабочих зазоров простой, удобной и по возможности автоматической.

-
безотказность действия тормозов во всех условиях. Выполнение данного требования достигается установкой двух или трех тормозных систем, перечисленных выше и действующих независимо одна от другой или имеющих независимые приводы колес и тормозных механизмов.

1.3 Классификация тормозных систем

Любая тормозная система делится на две части: тормозной механизм и тормозной привод.

«Тормозные механизмы основной системы разделяют по форме трущихся деталей (невращающихся) на колодочные, дисковые, ленточные и комбинированные (колодочно-ленточные, колодочно-дисковые). Иногда тормозные механизмы классифицируют по форме вращающихся деталей: барабанные (колодочные, ленточные), дисковые и комбинированные.

Кроме того, тормоза различают по расположению трущихся деталей; внутреннему или наружному; по расположению тормозных механизмов — в колесах (колесные тормоза) или на полуосях после дифференциала.

Тормоза наиболее распространенных типов будут рассмотрены ниже. Укажем лишь, что ленточные тормоза как качество колесных в настоящее время применяются редко; они используются как фрикционные элементы коробок передач планета

рноготипа.Ленточныйтормозпозволяетполучитьзначительныйтормознойэффе ктпридостаточногибкойленте,нодляобеспечениячистотыоттормаживаниянеоб ходимызначительныезазорымеждутрущимисяэлементами,чтозатрудняетприм енениетормозныхлентбольшойжесткости,итолщины.»

Наибольшеераспространениеимеютколодочныеколесныетормозасвнутр еннимрасположениемколодок.Перспективнымтипомявляютсядисковые"торм оза.Убыстроходныхавтомобилейтормозныемеханизмырасполагаютиногдап олусях,чтоимеетсвоипреимущества.

«Барабаннымитормозамиоборудованобольшинствоавтомобилей.Вданн ойконструкцииколодкивовремяторможениярасширяются,поэтомуданнуюмод ельназвали«тормозсвнутреннимиразжимнымиколодками»(рисунок1.10).Коло дкиприкрепляютсяктормозномущиту,которыйтакжезываютплатформой,ик райтормозногощитачастоимееттакуюформу,чтовходитвжелобокбарабана.Эта модельнамногоменьшестрадаетотвоздействияводы,пылиигрязи(рисунок1.11).»

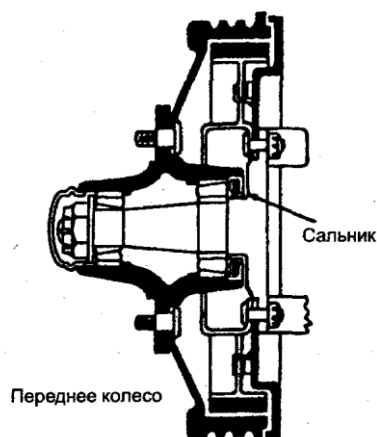


Рисунок1.10–Барабанныйтормозноймеханизм

«Ранниеверсии колодочных или барабанных тормозовсрабатывалиприпомощимеханическогосцепления.Давлениеоттормоз нойпедалиилирычаганавлялоськтормознымколодкампометаллическимтро самирычагам.Всесовершенныеавтомобилиоборудованыгидросистемой,котора яспокойнопередаеттормозноедавлениенавсечетыреколеса.»

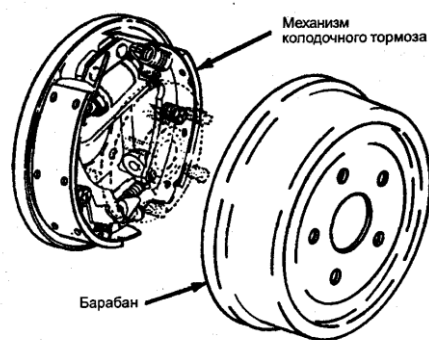


Рисунок 1.11 – Конструкция колодочного тормоза

«Дисковый тормоз имеет более простой принцип действия, чем барабанный. У дисковых тормозов есть множество достоинств. Обе колодки сжимают диск одновременно с противоположных сторон. Благодаря этому нет деформаций, как у барабанного тормозного механизма, потери идеальной круглой формы. Во время вращения диска центробежные силы выдувают загрязнения с поверхности диска (рисунок 1.12). Кроме того, колодки дискового тормоза, возвращаясь в исходное положение, располагаются очень близко к поверхности диска. Благодаря этому возникает сила, которая не дает проникать загрязнениям, пыли и воде в пространство между диском и тормозными накладками.»

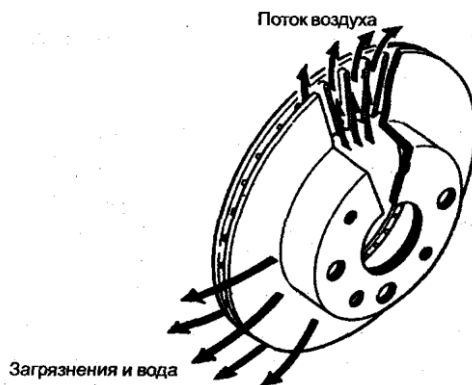
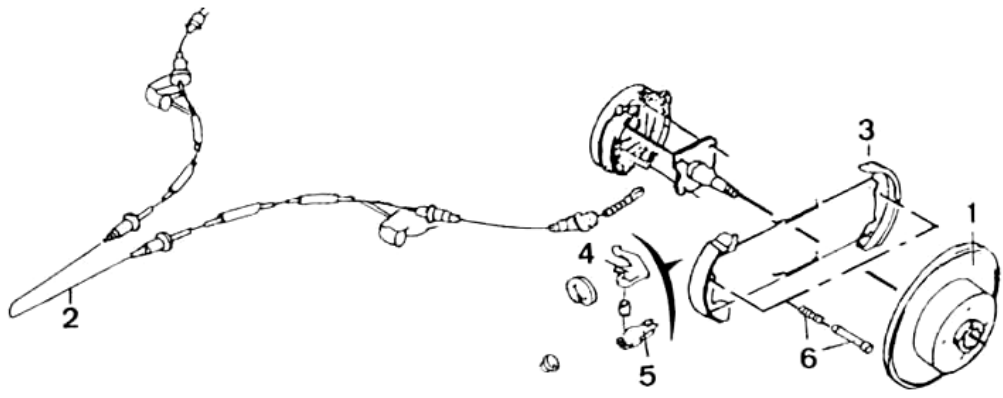


Рисунок 1.12 – Очистка рабочей поверхности диска

«Стояночный тормоз (рисунок 1.13) — это механизм, который приводится в действие водителем; имеет механический привод и предназначен для того, чтобы удерживать автомобиль во время парковки. Стояночный тормоз должен быть достаточно мощным, чтобы удерживать автомобиль, стоящий наклонной поверхности. В случае слабого сцепления с дорожным пок

рытием/стояночный тормоз должен блокировать колеса автомобиля. В легковых автомобилях стояночный тормоз обычно включается нажатием на ручную или ножной рычаг. Этот рычаг должен иметь фиксатор или храповой механизм, чтобы удерживать тормоз в включенном состоянии.»



- 1— тормозной диск; 2— трос привода стояночного тормоза; 3—
 колодка стояночного тормоза; 4—
 рычаг привода колодок стояночного тормоза;
 5— разжимная планка; 6— опорный палец колодки

Рисунок 1.13 – Система тросов стояночного тормоза

1.4 Обзор тенденций развития тормозных систем

Тормозная система, как и рулевое управление, относится к так называемым активным системам безопасности, отвечающим за безопасность пассажиров. В настоящее время автомобили становятся все быстрее, и требования к элементам и узлам автомобиля, а в особенности к тормозной системе, становятся все выше. Поэтому вопросы создания тормозной системы, позволяющей обеспечить минимальный тормозной путь, управляемость при экстренном торможении на любых типах покрытий, являются весьма актуальными. Совершенствование конструкции тормозной системы автомобиля происходит с учетом новейших разработок в области микроэлектроники и микропроцессорной техники [1, 2]. Основные этапы развития тормозных систем, управляемых электроникой, представлены на рисунке 1.14.

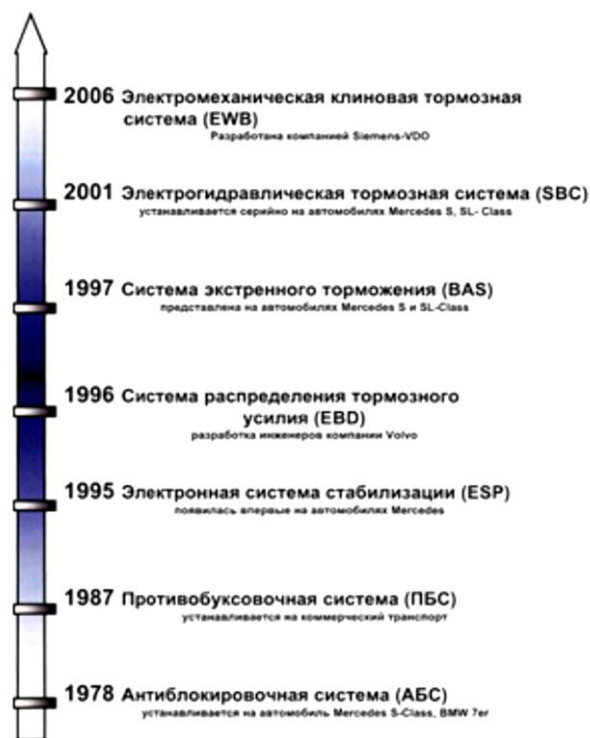


Рисунок 1.14—Основные этапы развития тормозных систем

«Примером использования современных технологий в области тормозных систем являются антиблокировочные системы ABS (Anti-Lock Braking System), которые позволяют повысить эффективность и безопасность торможения. Сначала ABS появились на автомобилях высокого класса, а ныне входят в стандартную комплектацию многих микролитражек. Например, при резком, экстренном торможении колеса автомобиля нередко полностью блокируются. Однако инерция автомобиля еще не преодолена, он продолжает движение, и заблокированные колеса просто скользят по дорожному покрытию. В этом случае имеются два неприятных момента. Во-первых, сцепление заблокированных колес с дорогой значительно меньше, чем у вращающихся, и, во-вторых, автомобиль с заблокированными колесами практически неуправляем, и если дорожное покрытие влажное или обледенелое, то авария почти гарантирована. Естественно, опытный водитель дело до блокировки колес не доводит, а применяет так называемое прерывистое торможение.

Почувствовав, что вращение колес прекратилось, и автомобиль начинает скользить, водитель отпускает педаль тормоза, колеса начинают вращаться, их сцепл

ениесдорогойвозрастает,имашинасноваподдаетсяуправлению—
теперьможноповторитьторможение.Этаметодикадовольнодействена,однако
требуетотводителяопределенныхнавыковидополнительныхусилий.»

«Антиблокировочнаясистематормозовосуществляеттожесамое,чтоиопы
тныйводитель,толькобыстрее,точнееибезучастиячеловека.Достаточносказать,
чтоABSзасекундуделаетдо10—
12цикловпритормаживания,чтоабсолютнонедостижимодажедляпрофессиона
льныхавтогонщиков.Витоге,тормознойпутиавтомобилянасухомдорожномпок
рытиисокращаетсяна10—
15%,хотянавлажном,обледенеломисмешанномпокрытиитормознойпутиможет
увеличиться.Носамымважнымпреимуществомантиблокировочнойсистемыяв
ляетсясохранениеуправляемостиавтомобиляприэкстренномторможении,чтоп
озволяетобъехатьвозникшеепрепятствие,недопустивстолкновения.»

«BAS(Brake Assist System)—вспомогательнаясистемавприводетормозов—
дебютировалав1997г.наMercedesE-
class. BASпомогаетводителюреализоватьмаксимальноеусилиенапедалитормоз
авпервомгновенииэкстреннойостановки.Инымисловами, BASбыстреевводит
вдействиетормознуюсистему,аэтопоможетнерешительномуилифизическисла
бомуводителюсэкономитьне-
сколькометровтормозногопути.»«ВавтомобиляхMercedesиToyotaтехническиэ
таидеяреализованаследующимобразом.Впневматическийусилительтормозовв
строеныдатчикскоростиперемещенияштокаиэлектромагнитныйпривод.Както
лькоуправляющийцентрдатчикаскоростипоступаеткомандаотом,чтоводите
льрезкоударяетпопедалитормоза,включаетсяэлектромагнит,которыйувеличив
аетсилувоздействиянашток.»«Такимобразом,ужечерездолюсекундыавтомати
капомогаетводителюдобитьсянаиболееэффективноготорможения.Втожеврем
ядаженавлажномпокрытиисрываколесвюзнепроисходит—
вдействиеуспеваетвступитьABS.Тоесть, BASпомогаетводителювсамыйпервы
ймоментторможения,аужеслипотомусилиеслишкомвелико,тоABSпредохрани
тколесаотблокировкиисохранитавтомобильуправляемым.»

«Кроме того, BAS «сохраняет», стиль торможения в штатных режимах, следовательно она легче «распознает» критическую ситуацию. Испытания показывают, что со скоростью в 100 км/ч использование BAS сокращает тормозной путь с 46 до 40 метров на автомобиле Mercedes.»

«Инженеры концерна BMW пошли иным путем. Они не использовали систему раннего поколения в своих автомобилях, в которой привод работал от вакуумного усилителя, и ждали новую. Они назвали свою систему DBC (Dynamic Brake Control). Система DBC объединена с антиблокировочной системой и при срабатывании обходит тормозную жидкость из аккумуляторов ABS в линию, где она находится под избыточным давлением. Система начинает активироваться в момент резкого падения с ускорителя. А благодаря высокому давлению, которое уже обеспечивает «умная система», скорость тормозной системы еще больше увеличивается. Дополнительные 0,5 секунды, которые экономит DBC по сравнению со среднестатистическим водителем, могут уменьшить тормозной путь на 15 метров при начальной скорости торможения 100 км / ч. Преимущества системы также можно отнести к «жесткому» соединению, которое позволяет без проблем сохранять эффект отслеживания на педалях при экстренном торможении. Когда вы быстро нажимаете на педаль, она только немного опускается, и вы все еще можете.»

«Следующим шагом в разработке тормозных систем стало внедрение Volvo электронной системы распределения тормозного усилия EBD (Electronic Braking Force Distribution). Во-первых, он регулирует давление в контурах задних тормозов, чтобы они не работали перед передними тормозами, в любом случае они не блокировались, но в то же время тормозились с максимальной эффективностью, в зависимости от нагрузки автомобиля и коэффициент сцепления с дорожным покрытием. Во-вторых, сам гидравлический привод стал «порванным». Хотя рабочие гидравлические цилиндры остались на месте, но если передний контур подключен

непосредственно к главному тормозному цилиндру, электрический сигнал отправляется на заднюю ось электронасоса. Распознавая степень требуемого замедления с помощью усилия на педали, блок управления анализирует датчики скорости вращения колеса, движение автомобиля, степень износа тормозных колодок и т. Д. Затем рассчитывает необходимое давление в каждом контуре. Источником этого давления является гидравлический аккумулятор с электронасосом. В целом, EBD выполняет функцию регулятора тормозных сил, только гораздо более гибко и точно (рисунок 1.15).»

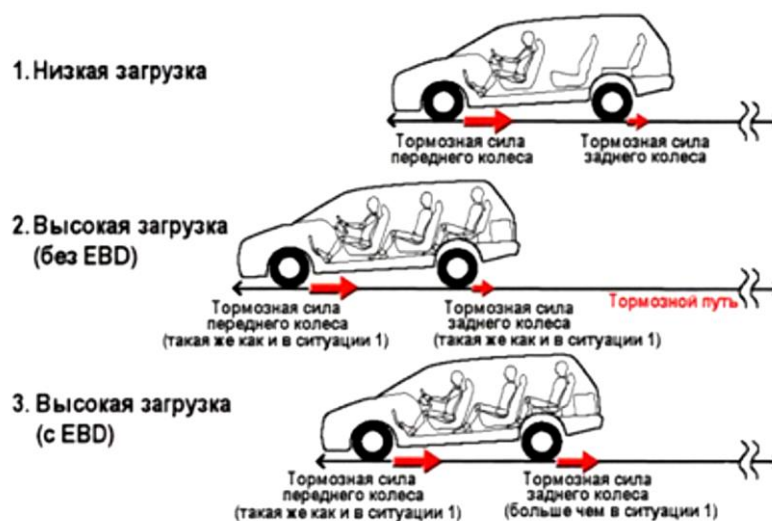


Рисунок 1.15 – Работа системы электронного распределения тормозных усилий

«В случае выхода из строя блока управления усилие передается через главный тормозной цилиндр стандартным способом, но только на передние колеса автомобиля. Иначе говоря, EBD расположен в основной тормозной системе. Аналогичная система от фирмы Nissan помогла уменьшить тормозной путь при остановке со 100 км/ч на автомобиле Terrano II на 8 метров.»

«Так же существует еще одна система, которая помогает водителю в сложных дорожных ситуациях, ею является электронная система стабилизации ESP. При возникновении экстремальной ситуации она

компенсирует неадекватно резкую реакцию водителя и способствует сохранению устойчивости автомобиля. Ее работа заключается в осуществлении тягово-динамического регулирования работы систем управления автомобилем. ESP распознает опасность заноса, и целенаправленно компенсирует нарушение курсовой устойчивости автомобиля. Для обозначения аналогичных систем используются следующие сокращения: ASMS (AutomatischesStabilitatsManagementSystem), DSC (DynamicStabilityControl), FDR (Fahrdynamik-Regelung), VSA (VehicleStabilityAssist), VSC (VehicleStabilityControl). ESP реагирует на критические ситуации в том случае, если известны ответы на два вопроса: куда намерен ехать водитель? Куда на самом деле едет автомобиль?»

Ответ на первый вопрос система получает от датчиков, определяющих угол поворота рулевого колеса и угловые скорости колес автомобиля. Ответ на второй вопрос можно получить, измеряя угол поворота автомобиля вокруг вертикальной оси и величину его поперечного ускорения. Если по поступающей от датчиков информации получаются разные ответы на упомянутые выше вопросы, то существует вероятность возникновения критической ситуации, при которой необходимо вмешательство ESP. Критическая ситуация может проявляться в двух вариантах поведения автомобиля (рисунок 1.16).

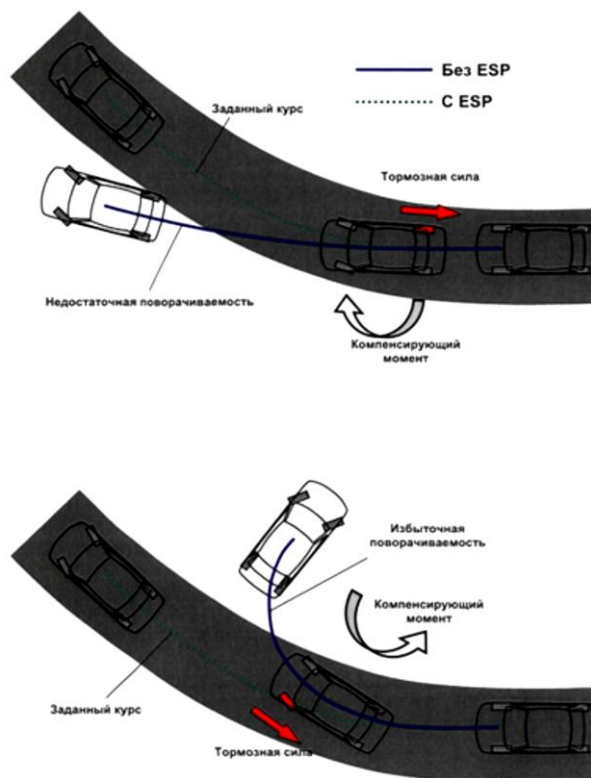


Рисунок 1.16 – Работа системы поддержания курсовой устойчивости (ESP)

«Электрогидравлическая тормозная система (Sensotronic Brake Control (SBC)) устанавливается на новые автомобили марки Mercedes-Benz с 2002 года. Эта тормозная система имеет следующие преимущества перед обычными тормозными системами: более точное распределение тормозных сил (рисунок 1.17); уменьшение тормозного пути при экстренном торможении (рисунок 1.18); оптимизацию работы систем активной безопасности; более комфортную стабилизацию движения автомобиля при работе ABS, системы стабилизации и т.д.; отсутствие вибрации на педали тормоза при работе антиблокировочной системы; дополнительные функции, повышающие комфортность и безопасность SBC Hold, SBC Stop, Softstop, Drybraking, Preciaring.»

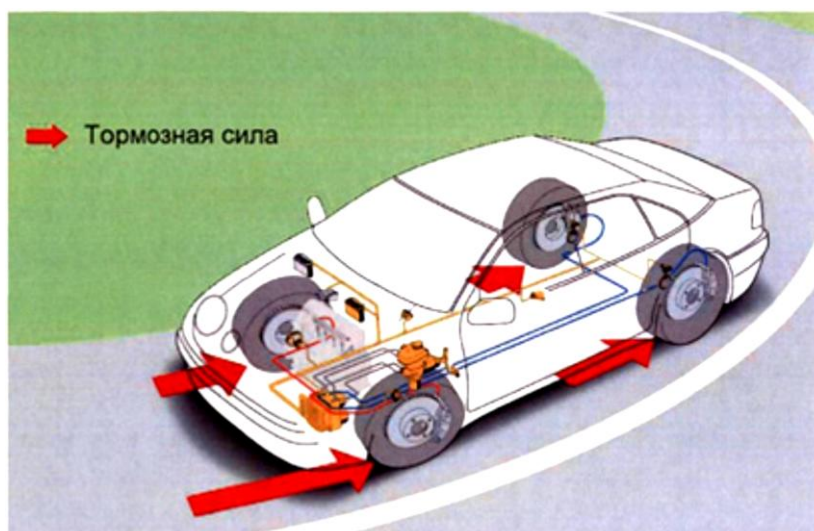


Рисунок 1.17 – Динамическое распределение тормозного усилия в системе SBC

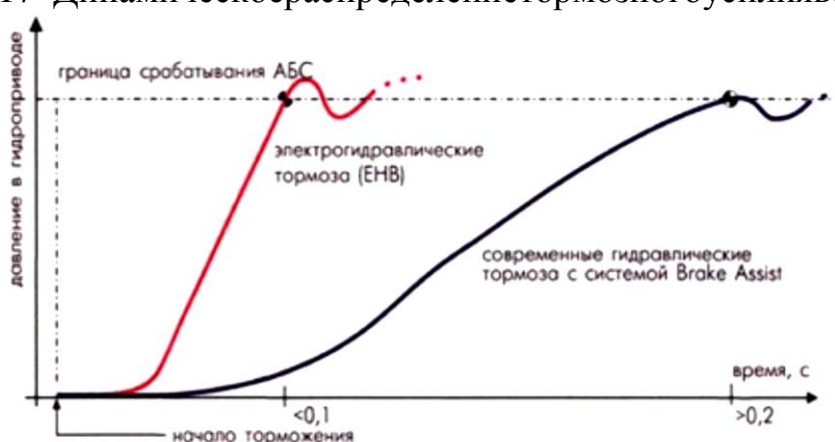


Рисунок 1.18 – Динамика срабатывания тормозов

«Основа работы данной системы состоит в следующем. При стандартной службе гидравлический контур правится электронным блоком, а контур с гидромеханическим приводом поделен аварийными клапанами. SBC принимается функционировать, когда он принимает сигнал с дверного контакта, багажного контакта, выключателя стоп-сигнала либо контакта дистанционного управления, что распознает вероятную приостановку выключения системы. Данная деятельность специализирована в целях устранения отключения системы SBC при перемещении машины из-за инерции (перемещение вниз по склону) при неработающем зажигании. Знак выключения системы в данном случае повторяется, когда машина целиком останавливается. В последствии включения система обследует функциональность частей тормозной системы.»

«Сначала обследуется давление в линии высокого давления либо пневмогидравлическом аккумуляторе давления. Помимо этого, испытываются оставшиеся измерители давления и электромагнитные клапаны. Непрерывное самотестирование кроме того совершается в период управления автотранспортным средством.

При основе торможения сигнал с измерителя перемещения педали тормоза поступает в блок управления SBC. Затем блок управления рассчитывает влияние в тормозном механизме персонально с целью любого автомобиля. Влияние в тормозящий концепции формирует насос значительного давления с электроприводом. Присутствие несоблюдения порядка деятельности SBC, электрический источник управления подает указание в изобретение авантюристичных электромагнитных клапанов, возобновляя гидромеханическую взаимосвязь среди педалью тормоза и передними тормозными приспособлениями.»

«Всостав SBC входит программа стабилизации движения (Electronic Stability Program) ESP. Модуль ESP имеет приоритет над SBC. Обе системы обмениваются данными по внутренней шине CAN. Блок управления SBC передает данные о давлении торможения и о давлении в систему к модулю ESP. Далее модуль ESP корректирует давление для каждого тормозного механизма и передает исправленные данные обратно модулю SBC. А модуль SBC подает команды электромагнитным гидравлическим клапанам.»

«Использование электрогидравлической тормозной системы открывает новые возможности в дизайне автомобилей будущего. В течение нескольких десятилетий ученые в разных странах пытались создавать автопилоты, которые могли бы автоматически управлять автомобилем с помощью видеокамер, радаров и других датчиков даже в самых простых ситуациях - при движении по загородным автомагистралям. Одним из компонентов такого автомобиля будущего должна стать тормозная система с электронным управлением, которая может автоматически останавливать автомобиль по

командам электронного автопилота. И электрогидравлическая тормозная система удовлетворяет этому требованию.»

«Система Continental Teves SWT (торсионная боковая стенка) стала еще одной новинкой в области тормозных систем. Принцип его работы основан на определении момента блокировки или проскальзывания вдоль продольной и поперечной деформации шины. Современные антиблокировочные системы распознают момент, когда колесо заблокировано, и получают информацию непосредственно от датчика скорости вращения, то есть десятые доли секунды после блокировки.

С использованием системы SWT момент полной блокировки колеса можно предугадать за доли секунды до его наступления. А это в свою очередь позволяет напрямую следить за степенью нагрузки каждого колеса, что увеличивает точность и быстродействие всех систем активной безопасности.»

«Тормозные системы автомобиля являются основным элементом обеспечения безопасности движения, и в связи с увеличивающейся автомобилизацией требуют постоянного совершенствования.»

1.5 Выбор и обоснование принятого варианта конструкции

«Тормозная система автомобиля является одной из самых важных и ответственных в автомобиле. Тормозная система предназначена для замедления автомобиля или для его полной остановки и состоит из ряда деталей и компонентов. Среди них можно отметить: тормозные колодки, диски, барабаны, цилиндры, а также все приводы тормозов. На всех современных автомобилях нашло применение фрикционные тормоза, которые основываются на принципе применения силы трения неподвижной детали подвижную (например, колодки трутся о барабан или тормозной диск). Так же тормоза необходимы чтобы удерживать транспортное средство в неподвижном состоянии, например на склоне. Тормозную систему автомобиля можно разделить на две: рабочую (для снижения скорости или для остановки машины) и стояночную (для удержания автомобиля на неровной поверхности).»

На автомобилях ВАЗ-2172 применена рабочая тормозная система с диагональным разделением контуров, что обеспечивает высокую активную безопасность автомобиля. Один контур гидропривода обеспечивает правый передний и левый задний тормозные механизмы, другой - левый передний и правый задний. Если один из рабочих тормозных контуров выходит из строя, второй контур используется для остановки ВАЗ-2172 с достаточной эффективностью. Гидравлический привод включает вакуумный усилитель и двухконтурный регулятор давления заднего тормоза. Система стояночного тормоза приводится в движение задними колесными тормозами.

2 Защита интеллектуальной собственности

2.1 Патентный поиск

Известно изобретение №107736 https://yandex.ru/patents/doc/RU107736U1_20110827 «Антиблокировочная система» (рисунок 2.1). Полезная модель относится к области автомобилестроения как автомобилям с колесным торможением, в частности, к антиблокировочным системам.

Техническим результатом является повышение надежности работы антиблокировочной системы, за счет улучшения качества поступающего в тормозную систему воздуха.

Указанный технический результат достигается тем, что в предлагаемой антиблокировочной системе в месте воздушного фильтра, в пневматическом контуре, применяется блок подготовки воздуха, позволяющий удалять из воздуха, поступающего от компрессора в тормозную систему, влагу и масло.

«Антиблокировочная система - электропневматическая. Электрическая часть имеет электрические выключатели, один из которых включается водителем после запуска двигателя, второй автоматически, при включении тормозной системы, электромагнитных пневмоклапанов и инерционных электрических датчиков.»

Пневматическая часть состоит из компрессора, редуктора давления, ресивера, тормозного крана, пневмоаккумуляторов, блок подготовки воздуха, состоящего из влагоотделителя, маслоотделителя, воздушного фильтра, позволяющего улучшить качество воздуха поступающего в тормозную систему.

АБС, состоит из двух частей: электромеханическими инерционными датчиками, электрического контура с выключателями, электропневмоклапанами и пневматического контура питания тормозов, состоящего из стандартной тормозной системы автомобиля с пневматическим приводом, отличающаяся тем, что содержит блок подготовки воздуха, состоящий из влагоотделителя, маслоотделителя и воздушно

го фильтра, позволяющего улучшить качество поступающего в тормозную систему воздуха.

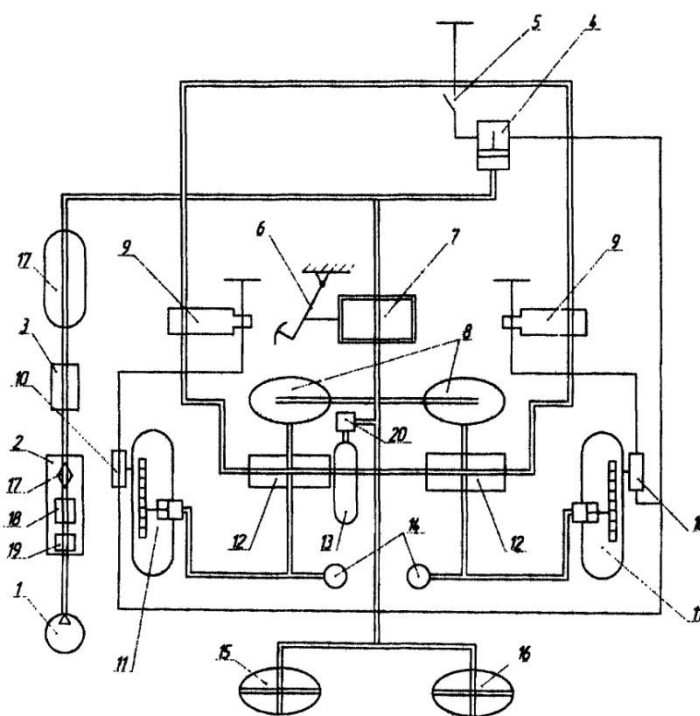


Рисунок 2.1

Недостатком данной антиблокировочной системы является то, что установленный воздушный фильтр, не обеспечивает надежную очистку воздуха (поступающего от компрессора в тормозную систему), от масла и влаги.

Техническим результатом является повышение надежности работы антиблокировочной системы, за счет улучшения качества поступающего в тормозную систему воздуха.

Указанный технический результат достигается тем, что в предлагаемой антиблокировочной системе вместо воздушного фильтра, в пневматическом контуре, применяется блок подготовки воздуха, позволяющий удалять из воздуха, поступающего от компрессора в контур, влагу и масло.

«Антиблокировочная система - электропневматическая, состоящая из компрессора 1, блока подготовки воздуха 2, состоящего из влагоотделителя 19, маслоотделителя 18, воздушного фильтра 17, редуктора давления 3, электрических выключателей 4, 5, тормозного крана 7, тормозных камер 11, тормозных цилиндров 12, тормозных колодок 13, тормозных дисков 14, тормозных барабанов 15, тормозных колодок 16, тормозных дисков 17, тормозных барабанов 18, тормозных колодок 19, тормозных дисков 20, тормозных барабанов 21»

зных камер передних колес 8, задних 15, 16, электромагнитных пневмоклапанов 9, инерционных датчиков 10, тормоза 11 (по числу колес), педали управления тормозной системой 6, переключателей 12, пневмоаккумулятора 13, ускорителя 20.»

Система работает следующим образом. После запуска двигателя автомобиля жатый воздух компрессора 1, через блок подготовки воздуха 2, редуктор давления 3, заполняет ресивер 17 и далее поступает к тормозному крану 7 и пневмоаккумулятору 13. Вручную включается выключатель 5 - электрическая система АБС подключается к системе электрообеспечения автомобиля. При давлении на педаль управления тормозной системой 6, сжатый воздух поступает к выключателю 4, в тормозные камеры колес 8, 15, 16, датчикам давления в тормозной системе 14, ускорителю 18 и далее к тормозам колес 11. Автоматически включается выключатель 4. Выключатель 4 запитывается электрической энергией электромагнитных пневмоклапанов 9 и инерционных датчиков 10 - антиблокировочная система в работе.

При обнаружении блокировки колес на любом из колес, реагирует инерционный датчик 10 данного колеса, при этом замыкаются электрические контакты датчика, которые передают электрический сигнал на электромагнитный клапан 9. Электромагнитный пневмоклапан 9 включится и сжатый воздух из тормоза данного колеса. Давление в тормозе колеса уменьшится, юз прекращается, антиблокировочная система возвращается в исходное рабочее состояние.

Переключатели 12 автоматически включают пневматическую аварийную тормозную систему, при отказе рабочей тормозной системы.

Известно изобретение № 112123 https://yandex.ru/patents/doc/RU112123U1_20120110 «Антиблокировочная система транспортного средства». Технический результат - повышение эффективности торможения и устойчивости движения транспортных средств, за счет максимального использования коэффициента сцепления колес с дорогой, а также упрощение конструкции антиблокировочной системы.

Технический результат достигается тем, что между суппортом и тормозным колодком тормозного механизма устанавливаются электровибраторы, на которые

е поступает переменный ток от генератора. Известно, что при наложении вибрации хотя бы на один из элементов пары трения, коэффициент трения будет уменьшаться. Таким образом, если в паре тормозной диск-тормозная колодка приложить к последней вибрации, то коэффициент трения между этими двумя деталями будет уменьшаться.

Сущность технического решения поясняется на рисунке 2.2, где изображен тормозной механизм антиблокировочной системы автомобиля.

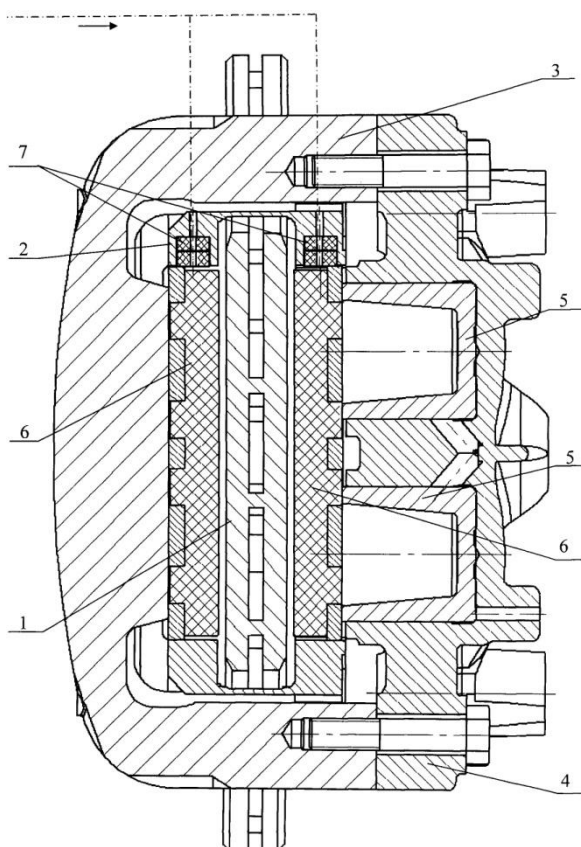


Рисунок 2.2

В антиблокировочную систему транспортного средства входят блок управления с датчиками угловых скоростей колес (на чертеже не показан) и тормозной механизм, состоящий из тормозного диска 1, суппорта 2, плавающей скобы 3, цилиндра 4 и поршней 5, тормозными колодками 6. Между суппортом 2 и тормозными колодками 6 установлены электровибраторы 7. Электровибраторы 7 подключены к генератору переменного тока.

При торможении транспортного средства давление тормозной жидкости на поршень 5 преобразуется в нормальную прижимающую силу. Поршень 5 прижима

ет тормозную колодку к тормозному диску 1. Тормозные колодки тормозным моментом прижимаются к суппорту 2 через электровибраторы 7. В случае возникновения блокировки колеса, распознаваемой блоком управления, последний включает генератор переменного тока, в результате чего тормозной колодке сообщаются вибрации перемещения от электровибраторов 7, параллельные рабочей поверхности тормозного диска 1 с частотой, заранее определяемой модальным анализом: выбираются одна из собственных частот (гармонику) колебаний, при которой амплитуда колебаний максимальна в касательном отношении к поверхности трения в направлении. Например, для тормозного механизма УАЗ-3163 эта частота равна 727,91 Гц. Вибрация тормозной колодки приводит к снижению коэффициента трения между тормозной колодкой и тормозным диском, тормозной момент снижается, блокировка колеса прекращается. Амплитуда вибрации перемещений по необходимости плавно регулируется блоком управления путем плавного изменения выходного напряжения генератора переменного тока. Таким образом, коэффициент трения в паре тормозная колодка-тормозной диск изменяется бесступенчато. Следовательно, отклонения от наиболее эффективного тормозного момента минимальны, а эффективность антиблокировочной системы максимальна.

Предлагаемая антиблокировочная система транспортного средства не содержит прецизионных гидравлических исполнительных устройств, что существенно ее упрощает и удешевляет.

«Известно изобретение № 2351491 С1 https://yandex.ru/patents/doc/RU2351491C1_20090410 «Антиблокировочное устройство тормозной системы автомобиля». Изобретение решает задачу повышения эксплуатационных параметров антиблокировочного устройства тормозной системы автомобиля.

Это достигается тем, что антиблокировочное устройство тормозной системы автомобиля, содержащее датчик угловой скорости колеса, инерционный датчик измерения линейного замедления автомобиля, согласно изобретению дополнительно снабжено компьютером, соединенным с датчиком угловой скорости колеса и инерционным датчиком измерения линейного замедления автомобиля с одной сто-

ронии электропневматическим клапаном с другой стороны, подключенным пневмолиниями к ресиверу содной стороны и тормозным системам передних и задних колес с другой стороны.»

На рисунке 2.3 представлена конструктивная схема антиблокировочного устройства тормозной системы автомобиля (вид сверху).

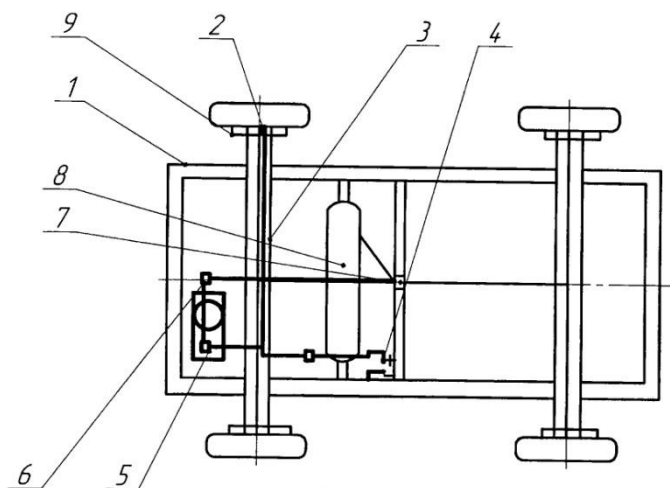


Рисунок 2.3

Антиблокировочное устройство тормозной системы автомобиля 1 снабжено датчиком угловой скорости колеса 2, установленным на мосту 3 автомобиля 1. Датчик угловой скорости колеса 2 соединен электрической цепью содной стороны положительной клеммой источника питания 4, а с другой - с входом №1 компьютера 5, расположенного на приборной панели автомобиля 1. Компьютер 5 входом №2 соединен электрической цепью с инерционным датчиком измерения линейного замедления автомобиля 6, установленным на раме автомобиля 1 содной стороны и электропневматическим клапаном 7, расположенным на раме автомобиля 1. Электропневматический клапан 7 пневмолиниями соединен содной стороны с ресивером 8, а с другой - с тормозной системой передних (задних) колес 9.

«Устройство работает следующим образом. При торможении автомобиля 1 на участке дороги с низким коэффициентом сцепления колес с дорожным покрытием в случае блокировки какого-либо колеса величины замедлений колес автомобиля будут различны. При обраб

от компьютером 5 данных по параметрам замедлений колес, полученных с помощью датчиков угловой скорости колеса 2, и величинам замедлений автомобиля, полученных с помощью инерционного датчика измерения линейного замедления автомобиля 6, в случае несовпадения этих параметров на 7% и более компьютер 5 подает сигнал "растормаживания" на электромагнитный клапан 7. Через электромагнитный клапан 7 сжатый воздух из тормозной системы передних (задних) колес 9 выходит в атмосферу. Далее тормозная система автомобиля растормаживается и его колеса сразу блокируются. При достижении величины замедления колес величины замедления автомобиля компьютер 5 подает сигнал "торможения" на электропневматический клапан 7, через который давление сжатого воздуха из ресивера 8 подается в тормозную систему передних (задних) колес 9. Автомобиль вновь затормаживается.»

По сравнению с известными данное устройство обеспечивает оптимальный режим динамики торможения автомобиля. Достигается это тем, что компьютер 5, обладающий высокой скоростью обработки результатов (величин замедлений колес автомобиля), своевременно подает как сигнал "растормаживание", так и сигнал "затормаживание" тормозной системе автомобиля. Это обстоятельство значительно повышает безопасность дорожного движения.

Известно изобретение № 1 16944 https://yandex.ru/patents/doc/RU116944U1_20120610 «Электромагнитный клапан для антиблокировочной тормозной системы гидравлическим приводом». Задачей настоящей полезной модели является улучшение тормозных качеств колесных машин путем усовершенствования электромагнитного клапана.

Поставленная задача достигается тем, что в электромагнитном клапане, включающем в себя корпус, в котором установлены катушки и сердечник со сквозным отверстием, соединенный трубопроводом главного тормозного цилиндра, в отличие от прототипа содержит дополнительный цилиндр, включающий поршень с резиновой манжетой и пружину, соединенный посредством канала, выполненного в передней стенке дополнительного цилиндра, со сквозным отверстием сердечника, а

через отверстие, выполненное в нижней части корпуса передней стенки цилиндра и обратный шариковый клапан, трубопроводом главного тормозного цилиндра.

По имеющимся у авторов сведениям заявляемая конструкция электромагнитного клапана для антиблокировочной тормозной системы с гидравлическим приводом и дополнительным цилиндром, соединенным трубопроводом главного тормозного цилиндра, неизвестна из уровня техники, что позволяет сделать вывод о соответствии технического решения критерию «новизна».

Электромагнитный клапан включает в себя трубопровод 7 главного тормозного цилиндра, связанный с одной стороны с рабочим тормозным цилиндром 5 колеса с тормозным барабаном 1, тормозными колодками 2, стяжной пружиной 3 и резиновым противопыльным колпачком 4, а с другой - с корпусом электромагнитного клапана 8, в котором установлена электромагнитная катушка 9, пружина 10, сердечник 11 с сквозным отверстием 6, которое, в свою очередь, связано посредством канала с корпусом дополнительного цилиндра 15, внутри которого установлены поршень 13, срезиненой манжетой 12 и пружиной 14, так же в теле дополнительного цилиндра сделано отверстие с обратным шариковым клапаном 16 и пружиной 17, присоединенным к трубопроводу 7 главного тормозного цилиндра.

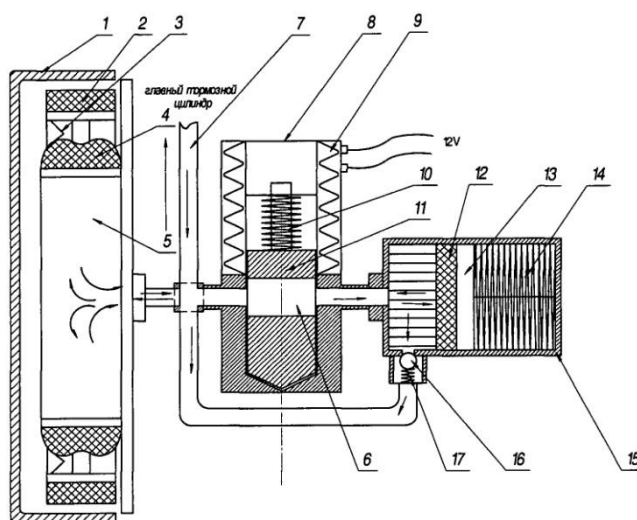


Рисунок 2.4

«Электромагнитный клапан для антиблокировочной тормозной системы с гидравлическим приводом работает следующим образом. Когда торможение осущ

есть является безблокировки колеса, то тормозная жидкость поступает как обычно в тормозной цилиндр 5 колеса через трубопровод 7. При этом сердечник 11 занимает место, при котором отверстие расположено таким образом, что предотвращает прохождение тормозной жидкости в дополнительный цилиндр 15, так как на электромагнитный клапан 8 подается напряжение, связанное с вращением колеса. Обратный шариковый клапан 16 также закрывает путь тормозной жидкости. Когда колесо заблокировано, то на электромагнитный клапан 8 напряжение не подается и под действием пружины 10 сердечник 11 занимает место, при котором отверстие в сердечнике 11 открыто и позволяет проходить жидкости к дополнительному цилиндру 15. В связи с тем, что для тормозной жидкости открывается дополнительный объем в корпусе дополнительного цилиндра 15, давление в тормозном цилиндре 5 колеса начинает падать.»

«Под действием пружины (пружин) 3 тормозная жидкость выходит из рабочего тормозного цилиндра 5 колеса, снижая давление тормозных колодок 2 на тормозной барабан 1, что позволяет разблокировать колесо. Избыток тормозной жидкости собирается в корпусе дополнительного цилиндра 15, преодолевая усилие пружины 14. Как только колесо начинает вращаться, на электромагнитный клапан 8 подается напряжение и он перекрывает путь прохождения тормозной жидкости в корпус дополнительного цилиндра 15, тем самым повышая давление тормозной жидкости в тормозном цилиндре 5. Давление тормозных колодок 2 на тормозной барабан 1 также увеличивается. Если колесо снова окажется заблокированным, то указанный цикл повторится. Достаточно быстрое повторение циклов позволяет получить максимально возможное тормозное усилие в зоне контакта колеса с дорогой без блокировки колеса.»

«Если процесс торможения заканчивается, давление жидкости в тормозной системе снижается. Тогда под действием пружины 14 поршень 13 резиновой манжеты 12 начинает выталкивать тормозную жидкость обратно в систему.»

Заявляемый электромагнитный клапан для антиблокировочной тормозной системы с гидравлическим приводом и дополнительным цилиндром, связанным

трубопроводом главного тормозного цилиндра, представляет интерес для народного хозяйства, так как улучшает тормозные качества колесных машин.

«Известно изобретение № 179516 https://yandex.ru/patents/doc/RU179516U1_20180517 «Устройство для повышения эффективности антиблокировочной системы автомобилей на дорогах с низкими сцепными свойствами». Задачей полезной модели является разработка устройства для повышения эффективности антиблокировочной системы автомобилей на дорогах с низкими сцепными свойствами.

Техническим результатом предлагаемой полезной модели является повышение эффективности торможения автомобиля в условиях недостаточного сцепления колес с поверхностью дороги и при необходимости преодолевать колесом дополнительное сопротивление качению, вызванное грязевыми или снежными валиками, образующимися перед колесом при определенных погодных условиях.»

Технический результат достигается: путем модернизации антиблокировочной системы ABS, таким образом, что обеспечивается максимальная реализация сцепления колес с дорогой, в любом состоянии ее покрытия, независимо величины момента сопротивления качению из-за дорожных неровностей и с обязательным сохранением способности колес как в попятную боковых сил, т.е. с оптимальными параметрами проскальзывания в контакте. Устройство позволяет выводить колесо из состояния юза, переводя его во вращение, что способствует перекачиванию колес через снежный или грязевой валик за счет возникновения импульса окружной силы от инерционного момента маховика при его раскручивании.

Устройство для повышения эффективности антиблокировочной системы автомобилей на дорогах с низкими сцепными свойствами состоит из (рисунок 2.5): 1- колесо; 2- электродвигатель; 3- маховик; 4- датчик частоты вращения тормозного барабана и колеса; 5- возвратная пружина; 6- электромагнит; 7- электронный блок управления (ЭБУ); 8- датчик положения тормозной педали (ДПП); 9- тормозная педаль; 10- бортовой компьютер (ПК); 11- выключатель (ВК1); 12- реле включения (РВ); 13- блок питания (БП); 14- аналого-цифровой преобразователь (АЦП); 15-

шарнир сердечника электромагнита; 16-приводной вал маховика; 17-сердечник электромагнита; 18-корпус электродвигателя; 19-шарнирная опора корпуса электродвигателя; 20-балка моста автомобиля; 21- тормозной барабан; 22-зубчатый венец.

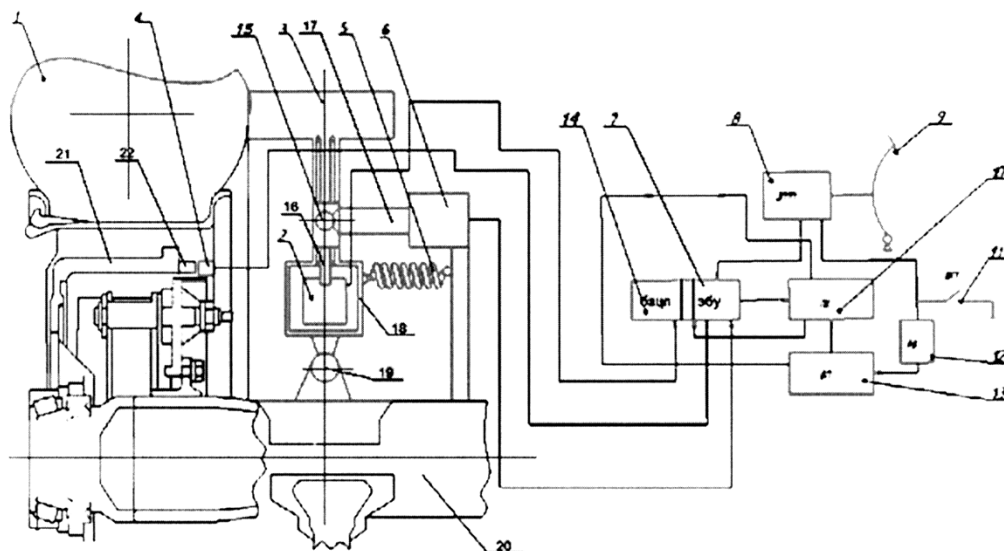


Рисунок 2.5

При движении автомобиля на скользкой или загрязненной дороге устройство активизируется выключателем (ВК1) 11. При необходимости экстренного торможения, водитель максимальным усилием нажимает на тормозную педаль 9, при этом датчик положения тормозной педали (ДПП) 8 срабатывает и подключает бортовой компьютер (ПК) 10 к электронному блоку управления (ЭБУ) 7. Из-за избыточного тормозного момента колесо 1 блокируется, входит в состояние юза и скользит по заснеженной или загрязненной поверхности дороги, нагребая впереди себя снежный или грязевой валик, который мгновенно уплотняясь, фактически преобразуется в дорожную неровность.

«Система ABS автоматически дает сигнал на разблокирование колеса и на выход его из состояния юза. Однако колесо не может выйти из состояния юза самостоятельно из-за дополнительного сопротивления на его перекатывание, возникающее от грязевого валика. При этом датчик частоты вращения тормозного барабана и колеса 4 через аналого-

цифровой преобразователь (АЦП) 14 сигнализирует ЭБУ 7 о состоянии юза колеса. ЭБУ подключает электродвигатель 2 к блоку питания (БП) 13, который с помощью приводного вала маховика 16 раскручивает маховик 3.

По команде бортового компьютера 10 сердечник 17 электромагнита б выдвигается, поворачивая корпус электродвигателя 18 на шарнирной опоре корпуса электродвигателя 19, плотно прижимает вращающийся маховик 3 к боковой поверхности колеса 1.

За счет инерционного момента маховика 3 на боковой поверхности колеса 1 возникает кратковременный импульс кружной силы, который выводит колесо из состояния юза и переводит его во вращение. Начавшееся вращение колеса позволяет ему перекатиться через снежный или грязевой валик, в результате чего дальнейшее функционирование ABS нормализуется.»

В конце торможения, водитель отпускает тормозную педаль и система ABS переходит в исходное состояние, электродвигатель 2 отключается ЭБУ 7, а пружина 5 возвращает корпус 18 в исходное положение.

2.2 Выводы и рекомендации

Красчету принята рабочая тормозная система автомобиля ВАЗ-2172 с диагональным разделением контуров. Первый контур гидропривода служит для работы правого переднего и левого заднего тормозных механизмов, второй – левого переднего и правого заднего. В гидравлический привод входят вакуумный усилитель и двухконтурный регулятор давления задних тормозов.

В результате патентного исследования выявлены следующие ближайшие к устройству аналоги (таблица 2.1).

Таблица 2.1 – Анализ патентной информации

| Наименование | Автор | Техническое решение | Оценка технического решения по 10-бальной шкале |
|--------------|-------|---------------------|---|
| | | | |

| | | | |
|--|------------------------------|---|---|
| RU107736U1 Антиблокировочная система 2011.08.27 | Христофов Евгений Николаевич | В предлагаемой антиблокировочной системе вместо воздушного фильтра, в пневматическом контуре, при меняется блок подготовки воздуха, позволяющий удалять из воздуха, поступающего от компрессора в тормозную систему, влагу и масло. | 7 |
| RU112123U1 Антиблокировочная система транспортного средства 2012.01.10 | Хусинов Альберт Шамильевич | Между суппортом тормозных колодок и тормозного механизма устанавливаются электровибраторы, на которые поступает переменный ток от генератора. | 8 |
| RU2351491C1 Антиблокировочное устройство тормозной системы автомобиля 2009.04.10 | Белозоров Виктор Васильевич | Антиблокировочное устройство тормозной системы автомобиля, согласно изобретению, дополнительно снабжено компьютером, соединенным с датчиком угловой скорости колеса и инерционным датчиком измерения линейного замедления автомобиля с одной стороны и электропневматическим клапаном с другой стороны, подключенным пневмолинией к ресиверу с одной стороны и тормозным системам передних и задних колес с другой стороны. | 7 |
| RU116944U1 Электромагнитный клапан для антиблокировочной тормозной системы с гидравлическим приводом 2012.06.10 | Горшков Юрий Германович | В электромагнитном клапане отличие от прототипа содержится дополнительный цилиндр, соединенный посредством канала, выполненного в передней стенке дополнительного цилиндра, со сквозным отверстием сердечника, а через отверстие, выполненное в нижней части корпуса у передней стенки цилиндра и обратный шариковый клапан, трубопроводом главного тормозного цилиндра | 9 |
| RU179516U1 Устройство для повышения эффективности антиблокировочной системы автомобиля на дорогах с низкими сцепными свойствами 2018.05.17 | Куюков Вадим Вадимович | Устройство позволяет выводить колесо из состояния юза, переводя его во вращение, что способствует перекачиванию колеса через снежный или грязевой валик за счет возникновения импульса окружной силы от инерционного момента маховика при его раскручивании. | 9 |

Проведенное патентное исследование подтверждает значимость и перспективность проведенного теоретического исследования.

3 Конструкторская часть

3.1 Тягово-динамический расчет автомобиля

3.1.1 Исходные данные

- собственная масса автомобиля в снаряженном состоянии..... $m_0=1088$ кг
- максимальная скорость..... $V_{max}=183$ км/ч
- максимальный угол подъема, преодолеваемый автомобилем..... $\alpha_{max}=20^\circ$
- факторобтекаемости..... $kF=0,4$ Н · с² / м²
- коэффициент полезного действия трансмиссии..... $\mu_{mp}=0,9$
- обороты двигателя при максимальной мощности..... $n_N=5400$ об/мин
- распределение веса по осям автомобиля..... $\varepsilon=60/40$

3.1.2 Определение полной массы автомобиля

«Полную массу автомобиля рассчитывают по формуле:

$$m_a = m_0 + (m_q + m_{\sigma}) \cdot n, \quad (3.1)$$

где m_0 –

масса снаряженного автомобиля с заправкой и снаряжением, но без пассажиров и водителя; $m_0=1088$ кг;

$m_q=70 \dots 80$ кг – масса водителя или пассажира; $m_q=80$ кг;

n – число мест для сидения пассажиров; $n=5$;

m_{σ} – масса багажа; $m_{\sigma}=10$ кг – на одного человека в легковых автомобилях.

Снаряженную массу m_0 на этом этапе проектирования лучше брать по аналогии с существующими прототипами.»

В число мест для сидения пассажиров в легковых автомобилях включается место водителя.

$$m_a = 1088 + (80 + 10) \cdot 5 = 1538 \text{ (кг)}.$$

3.1.3 Подбор шин

Для определения нагрузки на переднюю ось воспользуемся развесовкой автомобиля-прототипа при полной нагрузке, то есть 60/40

$$m_1 = m_a \div 4, (3.2)$$

где m_1 – масса, приходящаяся на переднюю ось;
 m_a – полная масса автомобиля.

$$m_1 = 1538 \cdot 0.6 = 922,8 (\text{кг}).$$

«Выбор шин осуществляется по максимальной скорости и нагрузке на колесо. Максимальная скорость автомобиля равна 170 километров в час, тогда индекс категории скорости М, индекс нагрузки на шину –

93. Диаметр обода колеса выберем как у прототипа – 14 дюймов.

Пусть шина будет иметь следующий размер 175/65R1493, где

175 – ширина профиля шин в мм;

65 – отношение высоты профиля к ширине в процентах;

R – радиальная шина;

14 –

внутренний диаметр шины, соответствующий диаметру обода колеса в дюймах;

93 – индекс грузоподъемности;

M – индекс скорости.»

Рассчитываем радиус качения колеса с выбранной шиной:

$$r_k = (0,9 \dots 0,95) \cdot r_c, (3.3)$$

где r_c – статический радиус, определяемый по формуле:

$$r_c = 0,5 \cdot d + \lambda_{ш} \cdot H, (3.4)$$

где d – диаметр обода колеса, м;

$\lambda_{ш}$ –

коэффициент, учитывающий вертикальную деформацию шины, (для стандартны

х шин $\lambda_{ш} = 0,88 \dots 0,9$;

H – высота профиля шины, м.

Рассчитываем $d = 14 \times 2,54 = 0,355$ (м), $\lambda_{ш} = 0,9$; $H = 0,114$ (м).

Тогда

$$r_c = 0,5 \cdot 0,355 + 0,9 \cdot 0,114 = 0,275 \text{ (м)},$$

$$r_k = 0,95 \cdot 0,28 = 0,2595 \text{ (м)}.$$

3.1.4 Выбор двигателя и построение его внешней скоростной характеристик и

Выбрав тип двигателя, определяют его максимальную мощность N_{max} . Мощность двигателя при V_{max} рассчитывают по формуле:

$$N_{V_{max}} = \frac{\Psi_{V_{max}} \cdot G_a \cdot V_{max} + kF V_{max}^3}{1000 \cdot \eta_{mpV_{max}}} \text{ кВт}, \quad (3.5)$$

в которой $\Psi_{V_{max}}$ и $\eta_{mpV_{max}}$ –

коэффициент сопротивления дороги и КПД трансмиссии при максимальной скорости;

$$\Psi_{V_{max}} = f = f_0 \cdot \left(1 + k_1 \cdot V_{max}^2 \right) \quad (3.6)$$

где f_0 –

коэффициент сопротивления качению, относящийся к малым скоростям для асфальта бетона $f_0 = 0,012 \dots 0,015$;

$$k_1 = (52 \dots 65) \cdot 10^{-5};$$

$G_a = m_a \cdot g = 1538 \cdot 9,81 = 15087,78$ (Н) – вес автомобиля;

$$V_{max} = 183 \text{ км/ч} = 50,83 \text{ м/с};$$

$$kF = 0,4 \text{ Н} \cdot \text{с}^2 / \text{м}^2;$$

$\eta_{mpV_{max}} = 0,9$, тогда коэффициент сопротивления дороги при V_{max} :

$$\Psi_{V_{max}} = f = 0,013 \cdot \left(1 + 4,5 \cdot 10^{-5} \cdot 183^2 \right) = 0,032.$$

А мощность двигателя при выбранной максимальной скорости:

$$N_{V_{\max}} = \frac{0,032 \cdot 15087,78 \cdot 50,83 + 0,4 \cdot 50,83^3}{1000 \cdot 0,9} = 142 \text{ (кВт)}.$$

Степень использования оборотов двигателя:

$$\lambda = \frac{n_{\max}}{n_N}, \quad (3.7)$$

где n_N -

обороты двигателя, соответствующие максимальной мощности. Для бензиновых двигателей $\lambda = 1,1 \dots 1,2$.

Максимальная мощность определяется по формуле:

$$N_{\max} = \frac{N_{V_{\max}}}{a\lambda + b\lambda^2 - c\lambda^3}, \quad (3.8)$$

где a, b, c -

коэффициенты, характеризующие тип конструкции двигателя внутреннего сгорания, $a=b=c=1$; тогда

$$N_{\max} = \frac{142}{1,1 + 1,1^2 - 1,1^3} = 145,04 \text{ (кВт)} \quad (3.9)$$

«Внешняя скоростная характеристика может быть получена из следующей формулы

$$N_m = N_{\max} \left[a \cdot \left(\frac{n_m}{n_N} \right) + b \cdot \left(\frac{n_m}{n_N} \right)^2 - c \cdot \left(\frac{n_m}{n_N} \right)^3 \right] \text{ кВт}, \quad (3.10)$$

где N_{\max} определено по формуле (9);

N_m и n_m - текущее значение мощности и число оборотов вала двигателя в минуту;

a, b, c -

коэффициенты, характеризующие тип конструкции двигателя внутреннего сгорания, $a=b=c=1$;»

$$n_N = 5400 \text{ об/мин};$$

$$n_{\min} = 900 \text{ об/мин};$$

$$n_{\max} = 5940 \text{ об/мин};$$

Зададим интервал от n_{\min} до n_{\max} еще ряд значений n_m , найдём соответствующие значения N_m и построим кривую зависимости $N_m = f(n_m)$, а затем $M_m = f(n_m)$, имея в виду, что

$$M_m = \frac{1000 \cdot N_m}{\omega_m} = 1000 \cdot N_m \cdot \left(\frac{30}{\pi \cdot n_m} \right) \text{ Н} \cdot \text{м}, \quad (3.11)$$

$$M_m = \frac{30000 \cdot N_m}{\pi \cdot n_m} = 9550 \cdot \frac{N_m}{n_m} \text{ Н} \cdot \text{м}, \quad (3.12)$$

где N_m – кВт;

n_m – воб/мин

ω_m – угловая частота вращения коленчатого вала, 1/с.

Таблица 3.1 – Зависимость N_m и M_m от n

| n , об/мин | N_m , кВт | M_m , Н*м |
|--------------|-------------|-------------|
| 900 | 21,32 | 226,23 |
| 1400 | 40,17 | 295,16 |
| 1900 | 62,08 | 312,04 |
| 2400 | 76,87 | 319,2 |
| 2900 | 97,18 | 320,03 |
| 3400 | 116,04 | 316,62 |
| 3900 | 126,19 | 309 |
| 4400 | 137,79 | 292,43 |
| 4900 | 143,74 | 280,15 |
| 5400 | 146,5 | 254,37 |
| 5900 | 143,59 | 232,4 |

Рабочий объем (литраж) двигателя рассчитывается по формуле:

$$V_h = \frac{30 \cdot \tau \cdot N_{\max}}{P_{eN} \cdot n_N} \text{ л}, \quad (3.13)$$

где N_{\max} (кВт) и n_N (об/мин) –

выбрано по внешней скоростной характеристике;

τ – тактность двигателя; $\tau=4$ для четырёхтактного двигателя;

P_{eN} – среднее эффективное давление при максимальной мощности, $P_{eN}=0,75$ МПа.

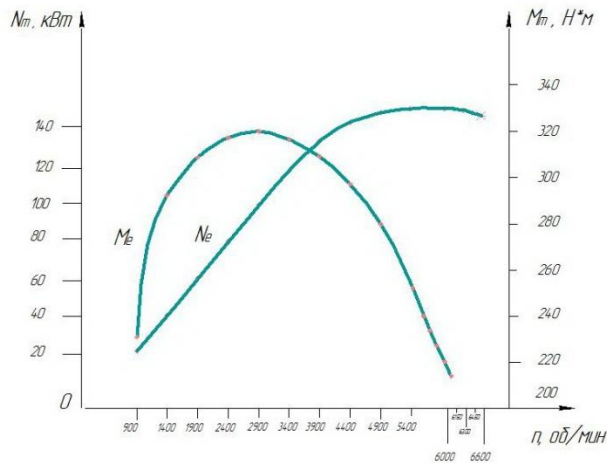


Рисунок 3.1—Зависимость N_m и M_m от n

$$V_h = \frac{30 \cdot 4 \cdot 146,5}{1,3 \cdot 5400} = 1,54 \text{ л.}$$

«Полученному рабочему объему двигателя можно установить классинекоторых характеристики проектируемого легкового автомобиля. Автомобиль среднего класса авторой группы.»

3.1.5 Определение передаточного числа главной передачи

«Так как в техническом задании определена максимальная скорость автомобиля, то передаточное число главной передачи определяется исходя из соотношения

$$i_0 = 0,376 \cdot \frac{r_k \cdot n_V}{i_{кв} \cdot i_{дв} \cdot V_{\max}}, \quad (3.14)$$

где n_V —

обороты коленчатого вала, соответствующие максимальной скорости автомобиля; $n_V = 5940$ об/мин;

$i_{кв}$ — передаточное число коробки передач на высшей передаче; $i_{кв} = 0,784$;

$i_{дв}$ —

передаточное число высшей передачи в дополнительной или раздаточной коробке

; $i_{дв} = 1$.»

$$i_0 = 0,376 \cdot \frac{5940 \cdot 0,2595}{0,784 \cdot 1 \cdot 183} = 4.$$

3.1.6 Выбор числа передачи и определение передаточных чисел коробки передач

«Передаточное число первой передачи выбирают из условия преодоления максимального сопротивления дороги Ψ_{max} и отсутствия буксования ведущих колёс при заданном значении φ :

$$\frac{\Psi_{max} \cdot G_a \cdot r_k}{M_{max} \cdot \eta_{mp} \cdot i_0 \cdot i_{0\delta}} \leq i_{k1} \leq \frac{\varphi \cdot G_{cy} \cdot r_k}{M_{max} \cdot \eta_{mp} \cdot i_0 \cdot i_{0\delta}}, \quad (3.15)$$

где $\Psi_{max} = f \cdot \cos \alpha_{max} + \sin \alpha_{max}$.

$\Psi_{max} = 0,373$;

$\varphi = 0,8$;

$G_{cy} = m_1 G_1 = 8652,42$ - если ведущие только передние колёса.

m_1 -

коэффициент, учитывающий перераспределение нагрузки на передние ведущие колёса, $m_1 = 0,6$.

$$1,95 \leq i_{k1} \leq 2,4.$$

Передаточное число первой передачи i_{k1} должно удовлетворять условию обеспечения минимальной устойчивой скорости движения V_{min} :

$$i_{k1} = 0,376 \cdot \frac{n_{min} \cdot r_k}{i_0 \cdot i_{0\delta} \cdot V_{min}}, \quad (3.16)$$

где n_{min} -

минимальная частота вращения коленчатого вала при полной подаче топлива; $n_{min} = 700$ об/мин;

$V_{min} = 5$ км/ч

$$i_{k1} = 3,4.$$

Считая коробку двухвальной, в которой прямая передача отсутствует, выберем промежуточные по геометрической прогрессии согласно формуле:

$$i_{km} = \sqrt[n-1]{i_{k1}^{n-m} \cdot i_{kv}^{m-1}}, \quad (3.17)$$

где i_{km} – передаточное число промежуточной передачи;
 m – номер произвольной промежуточной передачи;
 n – номер расчетной высшей передачи.

$$i_{k2} = \sqrt[4]{3,4^3 \cdot 0,784} = 2,36;$$

$$i_{k3} = \sqrt[4]{3,4^2 \cdot 0,784^2} = 1,63;$$

$$i_{k4} = \sqrt[4]{3,4 \cdot 0,784^3} = 1,13;$$

$$i_{k5} = 0,784.$$

Необходимо выполнить корректировку последующему условию:

$$\frac{i_{k1}}{i_{k2}} > \frac{i_{k2}}{i_{k3}} > \frac{i_{k3}}{i_{k4}} > \frac{i_{k4}}{i_{k5}};$$

$$\frac{3,4}{2,36} > \frac{2,36}{1,63} > \frac{1,63}{1,13} > \frac{1,13}{0,786};$$

Изменим передаточные числа следующим образом:

$$i_{k1} = 3,4$$

$$i_{k2} = 2,24$$

$$i_{k3} = 1,47$$

$$i_{k4} = 1,02$$

$$i_{k5} = 0,783$$

3.1.7 Тяговая и динамическая характеристика автомобиля

«Тяговая и динамическая характеристика представляет собой графики зависимости $P_k = f(V)$ и $D = f(V)$ на всех передачах, а также $P_w = f(V)$; $P_\psi = f(V)$ и $\Psi = f(V)$ на горизонтальной дороге, и рассчитываются на основании следующих зависимостей: сил тяги на колесе

$$P_k = \frac{M_m \cdot i_{mp} \cdot \eta_{mp}}{r_d} \quad H; \quad (3.18)$$

скорость движения

$$V = 0,376 \cdot \frac{r_k \cdot n_m}{i_{mp}} \text{ км/ч}; (3.19)$$

сопротивление дороги

$$P_{\Psi} = \Psi \cdot G_a \text{ Н}; (3.20)$$

$$\Psi = f = f_0 \cdot (1 + k_1 \cdot V^2) \text{ при } \alpha = 0 (3.21)$$

сопротивление воздуха

$$P_w = \frac{k \cdot F \cdot V^2}{13} \text{ Н}; (3.22)$$

динамический фактор

$$D = \frac{P_k - P_w}{G_a}; (3.23)$$

$$i_{mp} = i_k \cdot i_0 \cdot i_{\text{дн}}$$

передаточное число трансмиссии при наличии коробки передач, дополнительной или раздаточной коробки и главной передачи;

$r_d = r_k$ при движении без пробуксовывания;

f_0 – табличное значение коэффициента сопротивления дороги; $f_0 = 0,016$ – для сухого асфальта бетонного и бетона первой и второй категорий дорог.

Размерность: M – Н·м; n – об/мин; V – км/ч; r – м; G_a – Н; kF – Н·с²/м²;

$k_1 = (4 \dots 5) \cdot 10^5$.»

«Угол подъема, который преодолевает автомобиль на каждой передаче при разных значениях равномерной скорости и заданном коэффициенте сопротивления качению, определяется по уравнению:

$$\alpha = \arcsin \left(\frac{D - f \sqrt{1 - D^2 + f^2}}{1 + f^2} \right). (3.24)$$

По результатам расчетов построены графики зависимостей $P_k = f(V)$ и $D = f(V)$ на всех передачах, а также $P_w = f(V)$; $P_{\Psi} = f(V)$; $\alpha = f(V)$ и $\Psi = f(V)$ на горизонтальной дороге.»

3.1.8 Ускорение автомобиля

Ускорение автомобиля находят из формулы:

$$j = \frac{g}{\delta} \cdot (1 - f) \quad (3.25)$$

При полной нагрузке, высоком КПД трансмиссии и отсутствии буксования можно воспользоваться приближенным выражением

$$\delta = 1,03 + k_4 \cdot i_k^2 \cdot i_{\text{дн}}; \quad (3.26)$$

где $k_4 = 0,06$, тогда

$$\delta_1 = 1,724; \delta_2 = 1,33; \delta_3 = 1,16; \delta_4 = 1,09; \delta_5 = 1,07.$$

По формуле (27) строятся кривые зависимости обратных ускорений автомобиля от скорости движения.

3.1.9 Определение времени и пути разгона

«Так как отсутствует аналитическая связь между обратным ускорением $1/j$ и скоростью V , то время разгона обычно определяют графоаналитически.

Для построения зависимости времени разгона от скорости всю площадь под кривой $1/j = f(V)$ разбивают вертикальными линиями на участки интервалом 10 км/ч. Для упрощения подсчета площадь каждого участка заменяют площадью равновеликого участка высотой

$$\frac{1}{j_{cp}} = \frac{1/j_1 + 1/j_2}{2}, \text{ где } 1/j_1 \text{ и } 1/j_2 -$$

обратные ускорения в начале и в конце интервала скорости. Тогда для участка, например, при изменении скорости от V_1 до V_2 время разгона

$$t_1 = \frac{V_2 - V_1}{3,6 \cdot j_{cp}}, \quad (3.27)$$

где V – скорость, км/ч; j – ускорение, м/с².»

Аналогично определяют $t_2, t_3, t_4 \dots t_n$ по остальным участкам.

Путь разгона определяют из соотношения $V = dS/dt$:

$$S = \int_{t_1}^{t_2} V dt \quad (3.28)$$

Этот интеграл решают также графоаналитически, используя график $t = f(V)$.

Для построения графика $S=f(V)$ эту площадь разбивают горизонтальными линиями на несколько участков. Для упрощения подсчёта площадь каждого участка заменяют площадью равнобедренного треугольника с основанием b и высотой

$$V_{cp} = \frac{V_1 + V_2}{2}. \text{ Здесь } V_1 \text{ и } V_2 -$$

скорости соответственно в начале и в конце участка. При изменении скорости от V_1 до V_2

$$S_1 = \frac{b}{2} \cdot V_{cp}, \quad (3.29)$$

Аналогично определяем $S_2, S_3 \dots S_n$ по остальным участкам.

По найденным точкам строим кривую $S=f(V)$.

Для построения двух кривых ниже приведена таблица 3.2.

Таблица 3.2 – Зависимость скорости и пути от времени

| $V, \text{ км/ч}$ | $t, \text{ с}$ | $S, \text{ м}$ |
|-------------------|----------------|----------------|
| 0 | 0.55 | 0.76 |
| 10 | 1.02 | 2.87 |
| 20 | 1.51 | 6.18 |
| 30 | 2.1 | 11.06 |
| 40 | 2.79 | 17.71 |
| 50 | 3.65 | 26.51 |
| 60 | 4.64 | 37.86 |
| 70 | 5.83 | 52.24 |
| 80 | 7.25 | 70.25 |
| 90 | 8.88 | 92.5 |
| 100 | 10.84 | 119.75 |
| 110 | 13.03 | 152.78 |
| 120 | 15.44 | 192.19 |
| 130 | 18.16 | 237.7 |
| 140 | 21.31 | 292.33 |
| 150 | 25.07 | 356.35 |
| 166.5 | 27.2 | 391.67 |

3.1.10 Топливная экономичность автомобиля

Для построения графика зависимости расхода топлива от скорости движения воспользуемся следующей формулой

$$Q = \frac{g_e \cdot (N_{\psi} + N_w + N_j)}{10 \cdot \eta_{mp} \cdot V}, \quad (3.30)$$

«Топливную экономичность необходимо рассчитывать при установленном и не установленном движении. При установленном движении и расчёт ведётся на высшей передаче, здесь же необходимо рассчитать расход топлива при некотором значении ускорения. При не установленном движении, с максимальной интенсивностью разгона строится на каждой передаче.»

Установившееся движение

При установленном движении скорость постоянная величина, и ускорение равно нулю.

$$N_K = N_{\psi} + N_w, \quad P_K = P_{\psi} + P_w.$$

Неустановившееся движение

При не установленном движении скорость непостоянна и ускорение не равно нулю.

$$N_K = N_{\psi} + N_w + N_j = V \cdot (P_{\psi} + P_w + P_j), \quad P_K = P_{\psi} + P_w + P_j,$$

$$\text{где } P_{\psi} = \Psi \cdot G_a; \quad P_w = k \cdot F \cdot V^2; \quad P_j = m \cdot \delta \cdot \frac{dV}{dt}.$$

Удельный эффективный расход топлива определяется по следующей формуле

$$g_e = g \cdot K_u \cdot K_{\omega}, \quad \text{где } g = 330 \text{ г/кВтч.}$$

$$K_u = 3,27 - 8,22 \cdot U + 9,13 \cdot U^2 - 3,18 \cdot U^3, \quad (3.31)$$

где K_u – коэффициент использования мощности двигателя;

U – степень использования мощности, $U = (N_{\psi} + N_w + N_j) / (N_m \cdot \eta_{mp})$.

$$K_{\omega} = 1,25 - 0,99 E + 0,98 E^2 - 0,24 E^3, \quad (3.32)$$

где K_{ω} – коэффициент использования частоты вращения коленчатого вала

E – степень использования оборотов двигателя; $E = \omega_m / \omega_N$.

$$Q_{\frac{кз}{100}} = \frac{qe * \left(\Psi GaV + kFV^3 + maV \delta * \frac{dV}{dt} \right)}{3.6 * 10000 * \eta_{mp} * V}$$

Таблица 3.3–

Динамическая характеристика автомобиля на 1 передаче

| 1 передача | | | | | | |
|------------|----------------|-----------------|----------------|------|-----------------------------|-------------------------|
| V, км/ч | И _ј | К _{иј} | К _ω | Е | g _{еј} , г/(кВт*ч) | Q _ј , кг/100 |
| 6,46 | 1 | 1 | 0,91 | 0,17 | 232 | 3,40 |
| 7,89 | 1 | 1 | 0,89 | 0,20 | 226 | 3,27 |
| 9,33 | 1 | 1 | 0,87 | 0,24 | 221 | 3,17 |
| 10,76 | 1 | 1 | 0,85 | 0,28 | 216 | 3,08 |
| 12,20 | 1 | 1 | 0,83 | 0,31 | 211 | 3,00 |
| 13,63 | 1 | 1 | 0,81 | 0,35 | 207 | 2,94 |
| 15,07 | 1 | 1 | 0,80 | 0,39 | 204 | 2,90 |
| 16,50 | 1 | 1 | 0,79 | 0,43 | 201 | 2,87 |
| 17,94 | 1 | 1 | 0,78 | 0,46 | 198 | 2,85 |
| 19,37 | 1 | 1 | 0,77 | 0,50 | 196 | 2,84 |
| 20,81 | 1 | 1 | 0,76 | 0,54 | 195 | 2,84 |
| 22,24 | 1 | 1 | 0,76 | 0,57 | 194 | 2,86 |
| 23,68 | 1 | 1 | 0,76 | 0,61 | 193 | 2,88 |
| 25,11 | 1 | 1 | 0,75 | 0,65 | 192 | 2,92 |
| 26,55 | 1 | 1 | 0,75 | 0,69 | 192 | 2,97 |
| 27,98 | 1 | 1 | 0,76 | 0,72 | 193 | 3,04 |
| 29,42 | 1 | 1 | 0,76 | 0,76 | 193 | 3,12 |
| 30,85 | 1 | 1 | 0,76 | 0,80 | 194 | 3,21 |
| 32,28 | 1 | 1 | 0,77 | 0,83 | 196 | 3,33 |
| 33,72 | 1 | 1 | 0,77 | 0,87 | 197 | 3,46 |
| 35,15 | 1 | 1 | 0,78 | 0,91 | 199 | 3,62 |
| 36,59 | 1 | 1 | 0,79 | 0,94 | 201 | 3,81 |
| 38,02 | 1 | 1 | 0,80 | 0,98 | 203 | 4,03 |
| 39,46 | 1 | 1 | 0,80 | 1,02 | 205 | 4,30 |
| 40,89 | 1 | 1 | 0,81 | 1,06 | 208 | 4,62 |
| 42,33 | 1 | 1 | 0,83 | 1,09 | 210 | 5,02 |

Таблица 3.4–

Динамическая характеристика автомобиля на 2 передаче

| 2 передача | | | | | | |
|------------|----------------|-----------------|----------------|------|-----------------------------|-------------------------|
| V, км/ч | И _ј | К _{иј} | К _ω | Е | g _{еј} , г/(кВт*ч) | Q _ј , кг/100 |
| 9,75 | 1 | 1 | 0,91 | 0,17 | 232 | 41,74 |
| 11,92 | 1 | 1 | 0,89 | 0,20 | 226 | 41,45 |
| 14,09 | 1 | 1 | 0,87 | 0,24 | 221 | 41,10 |
| 16,25 | 1 | 1 | 0,85 | 0,28 | 216 | 40,68 |
| 18,42 | 1 | 1 | 0,83 | 0,31 | 211 | 40,21 |
| 20,59 | 1 | 1 | 0,81 | 0,35 | 207 | 39,69 |
| 22,75 | 1 | 1 | 0,80 | 0,39 | 204 | 39,14 |
| 24,92 | 1 | 1 | 0,79 | 0,43 | 201 | 38,56 |
| 27,09 | 1 | 1 | 0,78 | 0,46 | 198 | 37,94 |
| 29,25 | 1 | 1 | 0,77 | 0,50 | 196 | 37,29 |

| | | | | | | |
|-------|---|---|------|------|-----|-------|
| 31,42 | 1 | 1 | 0,76 | 0,54 | 195 | 36,61 |
| 33,59 | 1 | 1 | 0,76 | 0,57 | 194 | 35,89 |
| 35,76 | 1 | 1 | 0,76 | 0,61 | 193 | 35,13 |

Продолжение таблицы 3.4

| V, км/ч | I _j | K _{иj} | K _ω | E | g _{e_j} , г/(кВт*ч) | Q _j , кг/100 |
|---------|----------------|-----------------|----------------|------|--|-------------------------|
| 37,92 | 1 | 1 | 0,75 | 0,65 | 192 | 34,33 |
| 40,09 | 1 | 1 | 0,75 | 0,69 | 192 | 33,46 |
| 42,26 | 1 | 1 | 0,76 | 0,72 | 193 | 32,54 |
| 44,42 | 1 | 1 | 0,76 | 0,76 | 193 | 31,55 |
| 46,59 | 1 | 1 | 0,76 | 0,80 | 194 | 30,48 |
| 48,76 | 1 | 1 | 0,77 | 0,83 | 196 | 29,31 |
| 50,93 | 1 | 1 | 0,77 | 0,87 | 197 | 28,05 |
| 53,09 | 1 | 1 | 0,78 | 0,91 | 199 | 26,67 |
| 55,26 | 1 | 1 | 0,79 | 0,94 | 201 | 25,17 |
| 57,43 | 1 | 1 | 0,80 | 0,98 | 203 | 23,53 |
| 59,59 | 1 | 1 | 0,80 | 1,02 | 205 | 21,75 |
| 61,76 | 1 | 1 | 0,81 | 1,06 | 208 | 19,80 |
| 63,93 | 1 | 1 | 0,83 | 1,09 | 210 | 17,68 |

Таблица 3.5–

Динамическая характеристика автомобиля на 3 передаче

| 3 передача | | | | | | |
|------------|----------------|-----------------|----------------|------|--|-------------------------|
| V, км/ч | I _j | K _{иj} | K _ω | E | g _{e_j} , г/(кВт*ч) | Q _j , кг/100 |
| 14,86 | 1 | 1 | 0,91 | 0,17 | 232 | 27,41 |
| 18,16 | 1 | 1 | 0,89 | 0,20 | 226 | 27,23 |
| 21,46 | 1 | 1 | 0,87 | 0,24 | 221 | 26,99 |
| 24,77 | 1 | 1 | 0,85 | 0,28 | 216 | 26,70 |
| 28,07 | 1 | 1 | 0,83 | 0,31 | 211 | 26,37 |
| 31,37 | 1 | 1 | 0,81 | 0,35 | 207 | 26,00 |
| 34,67 | 1 | 1 | 0,80 | 0,39 | 204 | 25,59 |
| 37,97 | 1 | 1 | 0,79 | 0,43 | 201 | 25,15 |
| 41,28 | 1 | 1 | 0,78 | 0,46 | 198 | 24,68 |
| 44,58 | 1 | 1 | 0,77 | 0,50 | 196 | 24,19 |
| 47,88 | 1 | 1 | 0,76 | 0,54 | 195 | 23,66 |
| 51,18 | 1 | 1 | 0,76 | 0,57 | 194 | 23,09 |
| 54,49 | 1 | 1 | 0,76 | 0,61 | 193 | 22,49 |
| 57,79 | 1 | 1 | 0,75 | 0,65 | 192 | 21,85 |
| 61,09 | 1 | 1 | 0,75 | 0,69 | 192 | 21,16 |
| 64,39 | 1 | 1 | 0,76 | 0,72 | 193 | 20,41 |
| 67,69 | 1 | 1 | 0,76 | 0,76 | 193 | 19,61 |
| 71,00 | 1 | 1 | 0,76 | 0,80 | 194 | 18,75 |
| 74,30 | 1 | 1 | 0,77 | 0,83 | 196 | 17,81 |
| 77,60 | 1 | 1 | 0,77 | 0,87 | 197 | 16,79 |
| 80,90 | 1 | 1 | 0,78 | 0,91 | 199 | 15,68 |
| 84,20 | 1 | 1 | 0,79 | 0,94 | 201 | 14,47 |
| 87,51 | 1 | 1 | 0,80 | 0,98 | 203 | 13,16 |
| 90,81 | 1 | 1 | 0,80 | 1,02 | 205 | 11,73 |
| 94,11 | 1 | 1 | 0,81 | 1,06 | 208 | 10,17 |
| 97,41 | 1 | 1 | 0,83 | 1,09 | 210 | 8,49 |

Таблица 3.6–

Динамическая характеристика автомобиля на 4 передаче

| 4 передача | | | | | | | | | | |
|------------|------|----|-----|----------|----------|----------|----------------|----------------|------------|------------|
| V, км/ч | Иv | Иj | Киj | Киv | Кω | Е | gej, г/(кВт*ч) | gev, г/(кВт*ч) | Qj, кг/100 | Qv, кг/100 |
| 21,42 | 0,08 | 1 | 1 | 2,6 9 | 0,9 1 | 0,1 7 | 232 | 625 | 19,07 | 3,96 |
| 26,17 | 0,08 | 1 | 1 | 2,6 8 | 0,8 9 | 0,2 0 | 226 | 605 | 18,97 | 4,01 |
| 30,93 | 0,08 | 1 | 1 | 2,6 6 | 0,8 7 | 0,2 4 | 221 | 587 | 18,82 | 4,07 |
| 35,69 | 0,08 | 1 | 1 | 2,6 4 | 0,8 5 | 0,2 8 | 216 | 568 | 18,63 | 4,17 |
| 40,45 | 0,09 | 1 | 1 | 2,6 1 | 0,8 3 | 0,3 1 | 211 | 551 | 18,40 | 4,28 |
| 45,21 | 0,09 | 1 | 1 | 2,5 7 | 0,8 1 | 0,3 5 | 207 | 533 | 18,13 | 4,40 |
| 49,97 | 0,10 | 1 | 1 | 2,5 3 | 0,8 0 | 0,3 9 | 204 | 516 | 17,84 | 4,54 |
| 54,73 | 0,11 | 1 | 1 | 2,4 9 | 0,7 9 | 0,4 3 | 201 | 499 | 17,52 | 4,70 |
| 59,49 | 0,12 | 1 | 1 | 2,4 3 | 0,7 8 | 0,4 6 | 198 | 483 | 17,17 | 4,86 |
| 64,25 | 0,13 | 1 | 1 | 2,3 7 | 0,7 7 | 0,5 0 | 196 | 466 | 16,80 | 5,02 |
| 69,01 | 0,14 | 1 | 1 | 2,3 1 | 0,7 6 | 0,5 4 | 195 | 449 | 16,40 | 5,19 |
| 73,76 | 0,15 | 1 | 1 | 2,2 3 | 0,7 6 | 0,5 7 | 194 | 432 | 15,96 | 5,34 |
| 78,52 | 0,16 | 1 | 1 | 2,1 5 | 0,7 6 | 0,6 1 | 193 | 414 | 15,50 | 5,49 |
| 83,28 | 0,18 | 1 | 1 | 2,0 6 | 0,7 5 | 0,6 5 | 192 | 396 | 15,00 | 5,62 |
| 88,04 | 0,20 | 1 | 1 | 1,9 6 | 0,7 5 | 0,6 9 | 192 | 377 | 14,47 | 5,71 |
| 92,80 | 0,22 | 1 | 1 | 1,8 5 | 0,7 6 | 0,7 2 | 193 | 356 | 13,89 | 5,77 |
| 97,56 | 0,25 | 1 | 1 | 1,7 3 | 0,7 6 | 0,7 6 | 193 | 334 | 13,26 | 5,77 |
| 102,3 | 0,29 | 1 | 1 | 1,6 0 | 0,7 6 | 0,8 0 | 194 | 310 | 12,58 | 5,72 |
| 107,0 | 0,32 | 1 | 1 | 1,4 6 | 0,7 7 | 0,8 3 | 196 | 284 | 11,84 | 5,59 |
| 111,8 | 0,37 | 1 | 1 | 1,3 1 | 0,7 7 | 0,8 7 | 197 | 258 | 11,04 | 5,39 |
| 116,6 | 0,43 | 1 | 1 | 1,1 6 | 0,7 8 | 0,9 1 | 199 | 231 | 10,16 | 5,13 |
| 121,3 | 0,51 | 1 | 1 | 1,0 3 | 0,7 9 | 0,9 4 | 201 | 206 | 9,21 | 4,86 |
| 126,1 | 0,62 | 1 | 1 | 0,9 2 | 0,8 0 | 0,9 8 | 203 | 188 | 8,18 | 4,70 |

| | | | | | | | | | | |
|------------|------|---|---|----------|----------|----------|-----|-----|------|------|
| 130,8 7 | 0,77 | 1 | 1 | 0,9 0 | 0,8 0 | 1,0 2 | 205 | 185 | 7,06 | 4,91 |
| 135,6 3 | 1,00 | 1 | 1 | 1,0 0 | 0,8 1 | 1,0 6 | 208 | 208 | 5,84 | 5,82 |

Таблица 3.7–

Динамическая характеристика автомобиля на 5 передаче

| 5 передача | | | | | | | | | | | | |
|------------|----------|--------|---------|----------|----------|----------|----------------|----------------|------------|------------|-------------------|--|
| V, км/ч | Iv | И j | Ки j | Ки v | Кω | Е | gej, г/(кВт*ч) | gev, г/(кВт*ч) | Qj, кг/100 | Qv, кг/100 | Q(j=0,47), кг/100 | |
| 31,80 | 0,1 3 | 1 | 1 | 2,3 7 | 0,9 1 | 0,1 7 | 232 | 551 | 9,70 | 3,86 | 5,32 | |
| 38,87 | 0,1 3 | 1 | 1 | 2,3 3 | 0,8 9 | 0,2 0 | 226 | 527 | 9,69 | 4,01 | 5,28 | |
| 45,94 | 0,1 4 | 1 | 1 | 2,2 7 | 0,8 7 | 0,2 4 | 221 | 501 | 9,66 | 4,18 | 5,27 | |
| 53,01 | 0,1 5 | 1 | 1 | 2,2 0 | 0,8 5 | 0,2 8 | 216 | 475 | 9,60 | 4,37 | 5,28 | |
| 60,08 | 0,1 7 | 1 | 1 | 2,1 3 | 0,8 3 | 0,3 1 | 211 | 449 | 9,52 | 4,56 | 5,33 | |

Продолжение таблицы 3.7

| V, км/ч | Iv | И j | Ки j | Ки v | Кω | Е | gej, г/(кВт*ч) | gev, г/(кВт*ч) | Qj, кг/100 | Qv, кг/100 | Q(j=0,47), кг/100 |
|---------|----------|--------|---------|----------|----------|----------|----------------|----------------|------------|------------|-------------------|
| 67,14 | 0,1 9 | 1 | 1 | 2,0 4 | 0,8 1 | 0,3 5 | 207 | 423 | 9,42 | 4,75 | 5,40 |
| 74,21 | 0,2 0 | 1 | 1 | 1,9 4 | 0,8 0 | 0,3 9 | 204 | 396 | 9,30 | 4,93 | 5,49 |
| 81,28 | 0,2 3 | 1 | 1 | 1,8 4 | 0,7 9 | 0,4 3 | 201 | 370 | 9,17 | 5,09 | 5,61 |
| 88,35 | 0,2 5 | 1 | 1 | 1,7 3 | 0,7 8 | 0,4 6 | 198 | 343 | 9,02 | 5,23 | 5,76 |

| | | | | | | | | | | | |
|-------|-----|---|---|-----|-----|-----|-----|-----|------|------|-------|
| 95,41 | 0,2 | | | 1,6 | 0,7 | 0,5 | 196 | 318 | 8,86 | 5,34 | 5,93 |
| 102,4 | 0,3 | | | 1,5 | 0,7 | 0,5 | | | | | |
| 8 | 1 | 1 | 1 | 0 | 6 | 4 | 195 | 292 | 8,69 | 5,41 | 6,13 |
| 109,5 | 0,3 | | | 1,3 | 0,7 | 0,5 | | | | | |
| 5 | 5 | 1 | 1 | 8 | 6 | 7 | 194 | 268 | 8,49 | 5,44 | 6,36 |
| 116,6 | 0,3 | | | 1,2 | 0,7 | 0,6 | | | | | |
| 2 | 9 | 1 | 1 | 7 | 6 | 1 | 193 | 245 | 8,28 | 5,44 | 6,61 |
| 123,6 | 0,4 | | | 1,1 | 0,7 | 0,6 | | | | | |
| 8 | 4 | 1 | 1 | 6 | 5 | 5 | 192 | 223 | 8,06 | 5,42 | 6,90 |
| 130,7 | 0,4 | | | 1,0 | 0,7 | 0,6 | | | | | |
| 5 | 9 | 1 | 1 | 6 | 5 | 9 | 192 | 204 | 7,81 | 5,41 | 7,21 |
| 137,8 | 0,5 | | | 0,9 | 0,7 | 0,7 | | | | | |
| 2 | 5 | 1 | 1 | 8 | 6 | 2 | 193 | 189 | 7,54 | 5,44 | 7,55 |
| 144,8 | 0,6 | | | 0,9 | 0,7 | 0,7 | | | | | |
| 9 | 2 | 1 | 1 | 2 | 6 | 6 | 193 | 179 | 7,25 | 5,57 | 7,93 |
| 151,9 | 0,7 | | | 0,9 | 0,7 | 0,8 | | | | | |
| 5 | 1 | 1 | 1 | 0 | 6 | 0 | 194 | 174 | 6,93 | 5,89 | 8,34 |
| 159,0 | 0,8 | | | 0,9 | 0,7 | 0,8 | | | | | |
| 2 | 3 | 1 | 1 | 2 | 7 | 3 | 196 | 180 | 6,43 | 6,53 | 8,78 |
| 166,0 | 0,9 | | | 0,9 | 0,7 | 0,8 | | | | | |
| 9 | 0 | 1 | 1 | 5 | 7 | 7 | 197 | 187 | 6,45 | 7,31 | 9,26 |
| 173,1 | 0,9 | | | 0,9 | 0,7 | 0,9 | | | | | |
| 6 | 3 | 1 | 1 | 7 | 8 | 1 | 199 | 192 | 6,72 | 8,07 | 9,77 |
| 180,2 | 0,9 | | | 0,9 | 0,7 | 0,9 | | | | | |
| 3 | 8 | 1 | 1 | 9 | 9 | 4 | 201 | 198 | 6,94 | 8,95 | 10,32 |

«Экономическая характеристика движения автомобиля при движении на высшей передаче при определенном ускорении. Зададим ускорение $j=0,47 \text{ м/с}^2$

. При ускорении появляется N_{ψ} и P_j . Поскольку $N_{\psi} + N_w + N_j = N_k$

, то степень использования мощности двигателя $U=1$, следовательно $K_u = 1$.

Строим общую экономическую характеристику при разгоне с переключением передач. Поскольку разгон – это движение с ускорением, то $U=1$, K_u

=1. По данным таблиц 5-9 строим экономическую характеристику.»

3.1.1.1 Мощностная характеристика двигателя

«По аналогии с тяговой характеристикой можно использовать мощностную характеристику для определения динамических качеств автомобиля.

Для этого используем следующие формулы:

$$N_K = N_\psi + N_W + N_j, \quad P_K = P_\psi + P_W + P_j \quad (3.33)$$

$$N_\psi = V \cdot P_\psi; N_W = V \cdot P_W; N_j = V \cdot P_j; N_K = V \cdot P_K,$$

где N_K – мощность, развиваемая на ведущих колесах автомобиля;
 N_ψ – мощность, затрачиваемая на преодоление сопротивления качению;
 N_W – мощность, затрачиваемая на преодоление сопротивления воздуха;
 N_j – запаса мощности, требуемый для преодоления повышенного сопротивления движению или на разгоне автомобиля. Этот запас определяется из характеристики как разницы между N_K и $N_{\psi+W}$.»

Для мощностной характеристики должен выполняться мощностной баланс, заключающийся в следующем:

$$N_K = N_\psi + N_W + N_j; N_K = \eta \cdot N_m; N_m = \frac{N_\psi + N_W + N_j}{\eta_{\delta\delta}}$$

N_m – механическая мощность.

Таблица 3.8 – Мощностная характеристика автомобиля

| V, км/ч | N_ψ , кВт | N_W , кВт | N_j , кВт | N_K , кВт | N_m , кВт | $N_W + N_\psi$, кВт |
|---------|----------------|-------------|-------------|-------------|-------------|----------------------|
| 31,805 | 6,23 | 0,99 | 50,11 | 57,34 | 63,71 | 7,22 |
| 38,872 | 7,78 | 1,81 | 62,35 | 71,94 | 79,94 | 9,59 |
| 45,94 | 9,43 | 2,98 | 74,45 | 86,87 | 96,52 | 12,41 |
| 53,008 | 11,19 | 4,58 | 86,16 | 101,94 | 113,27 | 15,78 |

| | | | | | | |
|--------|-------|-------|--------|--------|--------|-------|
| 60,075 | 13,09 | 6,67 | 97,23 | 116,99 | 129,99 | 19,76 |
| 67,143 | 15,14 | 9,31 | 107,39 | 131,85 | 146,50 | 24,45 |
| 74,211 | 17,36 | 12,58 | 116,42 | 146,35 | 162,61 | 29,94 |
| 81,278 | 19,77 | 16,52 | 124,04 | 160,33 | 178,14 | 36,29 |
| 88,346 | 22,38 | 21,22 | 130,01 | 173,61 | 192,90 | 43,60 |

Продолжение таблицы 3.8

| V, км/ч | N _ψ , кВт | N _w , кВт | N _j , кВт | N _k , кВт | N _m , кВт | N _w +N _ψ , кВт |
|---------|----------------------|----------------------|----------------------|----------------------|----------------------|--------------------------------------|
| 95,414 | 25,21 | 26,73 | 134,09 | 186,03 | 206,70 | 51,94 |
| 102,48 | 28,29 | 33,12 | 136,01 | 197,42 | 219,36 | 61,41 |
| 109,55 | 31,63 | 40,45 | 135,53 | 207,61 | 230,68 | 72,08 |
| 116,62 | 35,24 | 48,80 | 132,40 | 216,44 | 240,49 | 84,04 |
| 123,68 | 39,15 | 58,22 | 126,37 | 223,73 | 248,59 | 97,37 |
| 130,75 | 43,37 | 68,78 | 117,17 | 229,32 | 254,80 | 112,15 |
| 137,82 | 47,92 | 80,55 | 104,57 | 233,04 | 258,93 | 128,47 |
| 144,89 | 52,82 | 93,59 | 88,31 | 234,72 | 260,80 | 146,41 |
| 151,95 | 58,09 | 107,96 | 68,15 | 234,19 | 260,21 | 166,05 |
| 159,02 | 63,74 | 123,74 | 38,63 | 226,10 | 251,23 | 187,47 |
| 166,09 | 69,79 | 140,98 | 24,21 | 234,98 | 261,08 | 210,77 |
| 173,16 | 76,26 | 159,75 | 16,83 | 252,84 | 280,93 | 236,01 |
| 180,23 | 83,17 | 180,12 | 5,84 | 269,13 | 299,03 | 263,29 |

3.2 Выбор компоновочной схемы тормозной системы

«В тормозных системах автомобилей наиболее распространены фрикционные тормозные механизмы, принцип действия которых основан на силе трения вращающихся деталей и не вращающиеся. По форме вращающейся детали колесные тормозные механизмы делят на барабанные и дисковые.»

«Барабанный тормозной механизм гидравлическим приводом (рисунк 3.2) состоит из двух колодок 2 с фрикционными накладками, установленных на опорном диске 3. Нижние концы колодок закреплены шарнирно на опорах 5, а верхние опираются через стальные сухари в поршни 4 разжимного колесного цилиндра 1. Стяжная пружина 6 прижимает колодки к поршням цилиндра 1, обеспечивая зазор между

у колодок и тормозным барабаном 4 в нерабочем положении тормоза. При поступлении жидкости из привода в колесный цилиндр 1 его поршни расходятся и раздвигают колодки до соприкосновения с тормозным барабаном, который вращается вместе с ступицей колеса. Возникающая сила трения колодок о барабан вызывает затормаживание колеса. После прекращения давления жидкости на поршни колесного цилиндра растяжная пружина 11 возвращает колодки в исходное положение и торможение прекращается.»

«Рассмотренная конструкция барабанного тормоза способствует неравномерному износу передней и задней пары колес. Это происходит в результате того, что при движении в переднем направлении передняя колодка работает против вращения колеса и прижимается к барабану с большей силой, чем задняя. Поэтому, чтобы уравнять износ передней и задней колодок, длину передней накладке делают больше, чем задней, или рекомендуют менять места колодки через определенный срок.

В другой конструкции барабанного механизма опоры колодок располагают на противоположных сторонах тормозного диска и привод каждой колодки выполняется от отдельного гидроцилиндра. Этим достигается больший тормозной момент и равномерность изнашивания колодок на каждом колесе, оборудованном по такой схеме.»

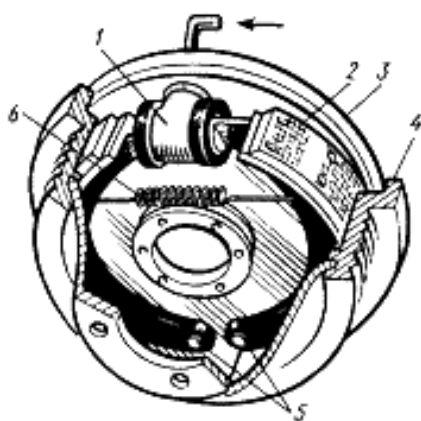


Рисунок 3.2 – Колесный барабанный тормозной механизм

«Колесный дисковый тормозной механизм с гидроприводом (рисунок 3.3) состоит из тормозного диска 1, закрепленного на ступице колеса. Тормозной диск вращается вместе с колесом. При поступлении жидкости из привода в гидроцилиндр 2 его поршни расходятся и раздвигают колодки до соприкосновения с тормозным диском, который вращается вместе с ступицей колеса. Возникающая сила трения диска о колодки вызывает затормаживание колеса. После прекращения давления жидкости на поршни гидроцилиндра пружины 3 возвращают колодки в исходное положение и торможение прекращается.»

ащается между половинками 8 и 9 скобы, прикрепленной к стойке 4 передней подвески. В каждой половине скобы выточены колесные цилиндры с большим 13 и малым 12 поршнями.»

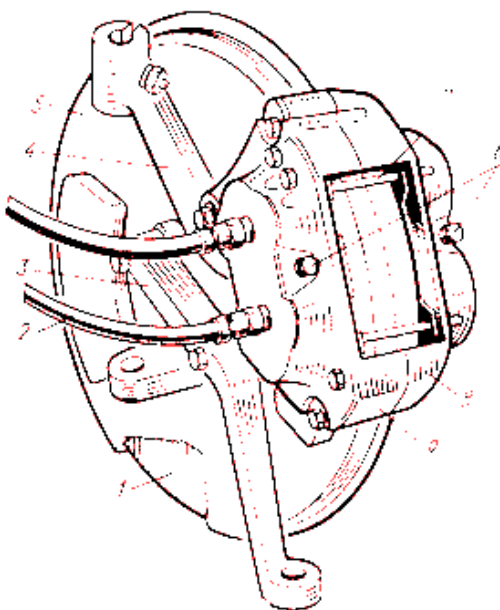


Рисунок 3.3 – Колесный дисковый тормозной механизм

«При нажатии на тормозную педаль жидкость из главного тормозного цилиндра перетекает по шлангам 2 в полости колесных цилиндров и передает давление на поршни, которые, перемещаясь с двух сторон, прижимают тормозные колодки 10 к диску 1, благодаря чему и происходит торможение.

Отпускание педали вызывает падение давления жидкости в приводе, поршни 13 и 12 под действием упругости уплотнительных манжет и осевого биения диска отходят от него, и торможение прекращается.»

Преимуществами барабанных тормозов является простота производства и следовательно низкая их стоимость, так же они обладают эффектом механического самоусиления.

Из-за связи нижних частей колодок, трение о барабан передней колодки усиливает прижатие к нему задней колодки. Это делает возможным многократное увеличение тормозного усилия, передаваемого водителем, и быстро повышает тормозящее действие при усилении давления на педаль.

Преимущества дисковых тормозных механизмов перед барабанными: меньшие масса и габариты; эффективный теплоотвод; высокая стабильность характеристик (стабильная эффективность до и после приработки, эффективность дисковых тормозов при нагреве на 500-600°С не снижается более чем на 15%, против снижения эффективности барабанных тормозов на 40% при нагреве до 300-350°С); равномерный износ тормозных накладок по всей их площади; меньший зазор между колодками и диском; повышенное быстрое действие; простота изготовления тормозных колодок дискового тормоза; легкость обслуживания тормозного механизма.

«Однако, у дисковых тормозов имеются и недостатки: поверхность диска легче подвергается коррозии и абразивному воздействию; необходимость увеличения приводной силы; повышенный износ накладок вследствие высокого удельного давления на накладку.»

3.3 Динамический расчет тормозной системы

3.3.1 Определение параметров тормозной системы механизмов рабочей тормозной системы

«Параметры тормозных механизмов выбирают на основе определения максимального момента тормозных механизмов по условиям сцепления передних колес на дороге с максимальным коэффициентом сцепления φ_{max} :

$$M_{T\varphi 1max} = \frac{r_{k0} * G_a * \varphi_{max} * l_2 + h_c * \varphi_{max}}{L} = \quad (3.34)$$

$$= \frac{0,315 * 221 * 9,81 * 0,8 * 1,14 + 0,97 * 0,8}{2,85} = 3678,6 \text{ Н}\cdot\text{м};$$

где $\varphi_{max} = 0,8$ –

максимальный коэффициент сцепления колес с дорогой при наличии усилителя.»

Для определения суммарного момента тормозных механизмов заднего моста воспользуемся коэффициентом распределения тормозных моментов:

$$M_{TM2\max} = \frac{M_{TM1\max}(1 - \beta_T)}{\beta_T} \text{ Н}\cdot\text{м}, \quad (3.35)$$

где β_T – коэффициент распределения тормозных моментов, вычисляется по формуле приведенной ниже:

$$\beta_T = \frac{l_2 + h_c \varphi_0}{L} = \frac{1,14 + 0,97 \cdot 0,8}{2,85} = 0,67 \quad (3.36)$$

где $\varphi_0 = 0,8$.

$$M_{TM2\max} = \frac{3678,6 \cdot (-0,67)}{0,67} = 1784,8 \text{ Н}\cdot\text{м}.$$

Определим коэффициенты пропорциональности между моментами

$M_{TM1\max}$, $M_{TM2\max}$ и давлением в приводе p_{\max} .

$$k_1 = \frac{M_{TM1\max}}{p_{\max}} = \frac{3678,6}{10e+6} = 3,6786 e - 4, \quad (3.37)$$

$$k_2 = \frac{M_{TM2\max}}{p_{\max}} = \frac{1009}{10e+6} = 1,7848 e - 4. \quad (3.38)$$

Коэффициенты k_1 и k_2

характеризуют преобразующие свойства привода тормозных механизмов и позволяют определить конструктивные параметры его элементов.

3.3.2 Определение параметров тормозных механизмов стояночной тормозной системы

«Стояночные тормоза должны надежно удерживать автомобиль вне подвижном состоянии на уклоне h_{\max} . Для рассматриваемого автомобиля значение h_{\max} регламентировано и принимается равным 0.25»

Суммарный момент тормозных механизмов стояночной тормозной системы определяется из неравенства:

$$M_{cm} > r_k m_a g h_{\max} \eta_{mp.cm} / u_{mp.cm} = 0,315 \cdot 2210 \cdot 9,81 \cdot 0,25 \cdot 1/1 = 1707 \text{ Н}\cdot\text{м}. \quad (3.39)$$

$\eta_{тр.ст}$ и $\eta_{тр.ст}$

из формулы 2.7 можно исключить t_k в качестве стояночных тормозов используются тормозные механизмы рабочей тормозной системы.

3.4 Выбор деталей, подлежащих расчету, определению нагрузочных режимов

«Фрикционные тормозные механизмы отличаются чрезвычайно многообразием. Их классификация ведется в основном по типу контртел.

В современном автомобилестроении и наиболее широко применяются дисковые колодочные тормозные механизмы, выгодно отличающиеся компактностью, высокой эффективностью и стабильными характеристиками. В них используются различные приводные устройства, конструкция которых зависит от типа тормозного механизма и привода. В тормозных механизмах, работающих с гидравлическим приводом, таким устройством является обычно непосредственно исполнительный орган привода – колесный тормозной цилиндр. При пневматическом приводе тормозные механизмы имеют механические кулачковые и клиновые приводные устройства. По типу регулировочного устройства автомобильные тормоза делятся на механизмы ручной и автоматической регулировкой зазора в фрикционной паре.»

«Плоская форма диска не требует большого зазора между ним и колодками в торможённом состоянии, что позволяет получить малое время срабатывания тормозного механизма.

Размеры и масса колодок очень малы, что позволяет не применять специальных возвратных пружин. Отвод колодок при снятии привоного усилия осуществляется за счёт естественного торцевого биения диска.

Однако, существенно меньшая площадь накладок дисковых тормозов по сравнению с площадью накладок аналогичных по параметрам барабанных, приводит к тому, что кинетическая энергия затормаживаемого автомобиля преобразуется в

еплона меньшей площади, в результате чего рабочая температура дисковых тормозов оказывается заметно выше, чем барабанных. Для дополнительного охлаждения диска его часто делают вентилируемым, с внутренними радиальными каналами.»

«Высокая рабочая температура дисковых тормозов в сочетании с большим давлением в контакте «накладка-диск» требует применения специальных фрикционных материалов, более высокого качества резинотехнических изделий и рабочей жидкости. Для уменьшения теплоты передачи жидкости поршень дисковых тормозов почти всегда выполняется в виде стакана, обращенного краем к колодке. Иногда поршни изготавливаются из полимерных материалов.

Также общим недостатком дисковых тормозных механизмов относится не столько меньший тормозной момент, создаваемый ими при прочих равных условиях, по сравнению с барабанными тормозами. Для смягчения указанного недостатка увеличивают силу прижатия колодок к диску путём увеличения диаметра цилиндра. Большой диаметр цилиндра приводит к необходимости подавать в цилиндр при торможении больший объем притом же хода педали, чему уменьшает передаточное число тормозного привода.

В тех конструкциях, где дисковый тормозной механизм всё же используется как качество рабочего, так и качества стояночного, наиболее часто привод стояночной системы воздействует на колодки, а на поршень гидравлического привода.

»

«Но устройства сплавляющей скобой тоже не идеальны. Некоторые трудности вызывает обеспечение скольжения скобы. С одной стороны, она должна скользить с минимумом трения для обеспечения одинаковой силы прижатия и собственного перемещения внутрь по мере изнашивания наружной накладки. Но с другой стороны, скоба не должна свободно гулять по направляющим в следствии вибраций.»

3.5 Расчет деталей на прочность

Исполнительными элементами тормозной системы проектируемого автомобиля являются дисковые тормозные механизмы.

Рассмотрим передний тормозной механизм.

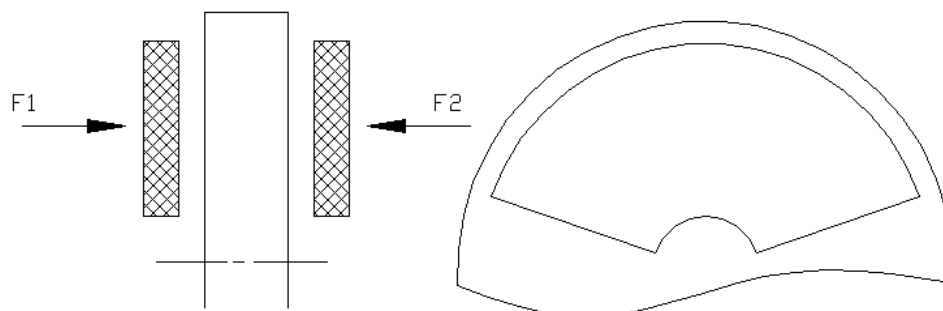


Рисунок 3.4 – Расчетная схема определения параметров дискового тормозного механизма

M_T – требуемый тормозной момент ($M_T = 1839 \text{ Н*м}$);

R – наружный радиус диска ($R = 130 \cdot 10^{-3} \text{ м}$);

r – внутренний радиус диска ($r = 60 \cdot 10^{-3} \text{ м}$);

n – число поверхностей трения ($n = 2$);

μ – коэффициент трения, ($\mu = 0,35$).

Определим эквивалентный радиус трения:

$$r_{\Sigma} = (R + r) / 2 = 95 \cdot 10^{-3} \text{ м.} \quad (3.40)$$

Определим требуемое усилие прижатия накладок:

$$F = \frac{M_T}{r_{\Sigma} \mu n} = 2,76 \cdot 10^4 \text{ Н.} \quad (3.41)$$

Используя полученный результат можно определить диаметр исполнительных гидроцилиндров:

$$d = \sqrt{\frac{4 F}{n \pi P}} = 0,04 \text{ м.} \quad (3.42)$$

где P – давление в приводе (10 МПа).

Площадь накладок определим как:

$$A_{\Sigma} = 4 \cdot \pi \cdot R_1^2 - r_1^2 \cdot \alpha_1 + 4 \cdot \pi \cdot R_2^2 - r_2^2 \cdot \alpha_2 = 0,44 \text{ м}^2. \quad (3.43)$$

где α – угол сектора накладки, град.

Удельная работа трения вычисляется по формуле:

$$A_{уд} = \frac{m_a \cdot v_a^2}{2A} = 1233 \leq A_{уд},$$

где $[A_{уд}] = 1300 \text{ Дж/см}^2$ – допустимая удельная работа трения

Приращение температуры диска за одно торможение можно определить по формуле:

$$\Delta t = \frac{m_a V^2}{2mC} = 51^{\circ} \text{C} \leq 100^{\circ} \text{C}, \quad (3.44)$$

где m – масса всех тормозных дисков, кг;

C – теплоемкость материала диска, примем $535 \text{ Дж/кг}^{\circ}\text{C}$.

Удельное давление на накладку определим по зависимости:

$$q_y = \frac{G_a}{A_{\Sigma}} = 49000 \frac{\text{Н}}{\text{м}^2} \leq [q_y] = 190000 \frac{\text{Н}}{\text{м}^2} \quad (3.45)$$

Проверка дискового тормоза на сжатие диска по давлению на накладку:

- для дисковых тормозов открытого типа

$$[P] \leq 2.5 \dots 3.5 \text{ МПа.}$$

$$P_d = \frac{N}{2 \cdot S} = \frac{1,347 \cdot 10^4}{2 \cdot 0,44} = 1,53 \text{ МПа.}$$

Условие выполняется.

Определение необходимой толщины стенки колёсного цилиндра:

$$S = \frac{P d_{\Pi}}{\sigma_p},$$

где $\sigma_p = 150 \text{ МПа}$ – напряжение разрыва;

d_{Π} – диаметр поршня, мм.

$$S = \frac{10 \cdot 46}{150} = 3,06 \text{ мм.}$$

Проверка торца тормозной колодки на смятие:

$$\sigma_{см} = \frac{M_{T\phi 1max}}{R_{\text{эф}} l \delta},$$

где $R_{\text{эф}}$ – эффективный радиус трения;

l -длина торца колодки, $l=34$ мм;

δ -толщина торца, $\delta=3,5$ мм.

$$\sigma_{\text{см}} = \frac{3678,6}{0,125 \cdot 34 \cdot 3,5} = 248 \text{ МПа} \leq \sigma_{\text{см}} = 340 \text{ МПа}.$$

Изгибскобыдискового тормозного механизма.

Скоба дискового тормозного механизма рассчитывается на изгиб на раскрытие при изгибе. При этом скоба представляется на расчётной схеме в виде кривого бруса, рисунок 3.5 (усилие Q можно принимать равным F_s).

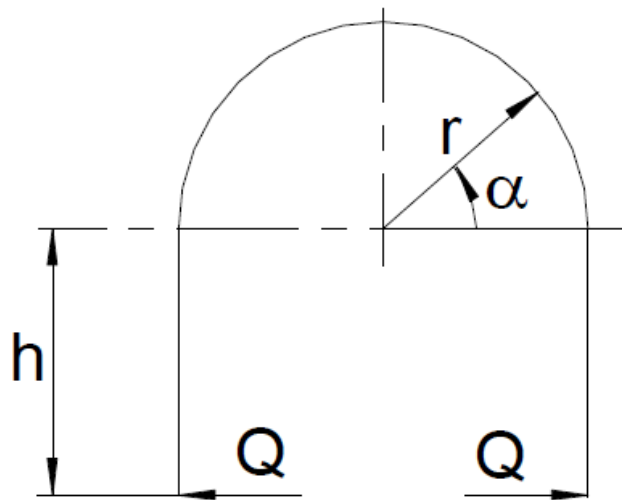


Рисунок 3.5 – Расчётная схема скобы дискового тормозного механизма

Изгибающий момент определяется как:

$$M_{\text{и}} = Q \cdot h + r \cdot \sin \pi - \alpha .$$

Подставляя значения, получим:

$$M_{\text{и}} = 1518 \cdot 100 + 130 \cdot \sin \pi - 45 = 63,3 .$$

Наибольшее значение момента соответствует $\alpha =$

π 2. Наибольшее напряжение в сечении скобы будет определяться как:

$$\sigma_{\text{и}} = \frac{Q \cdot h + r}{W} \leq \sigma ,$$

где W – момент сопротивления изгибу сечения скобы, м^3 ;

$[\sigma] = 250 \dots 450$ МПа для чугунных и стальных скоб, $200 \dots 300$ МПа для алюминиевых скоб.

Подставляя значения, получим:

$$\sigma_{и} = \frac{1518 \cdot 100 + 130}{2,4 \cdot 10^{-6}} = 145 \leq 350 .$$

Проверка болтов крепления скобы на срез:

$$\tau_{ср} = \frac{2 \cdot M_{T\phi 1max}}{\pi r_6 d_6^2 n},$$

где r_6 - радиус расположения болтов, $r_6 = 75$ мм;

d_6 - диаметр болтов, $d_6 = 16$ мм;

n - количество болтов, $n = 2$.

$$\tau_{ср} = \frac{2 \cdot 3678,6}{3,14 \cdot 0,075 \cdot 16^2 \cdot 2} = 61 \text{ МПа} \leq \tau_{ср} = 70 \text{ МПа}.$$

3.6 Разработка вспомогательных механизмов

Диаметры колесных тормозных цилиндров находятся по формуле:

$$d_k = \sqrt{\frac{4F}{\pi p_{max}}}, \quad (3.46)$$

где $p_{max} = 8$ МПа – максимальное давление в тормозном приводе.

Задавшись передаточным числом педального привода $u_p =$

3,5, находим площадь главного тормозного цилиндра A_2 :

$$A_{г} = \frac{k_y F_n u_p \eta_{п}}{p_{max}}, \quad (3.47)$$

где $k_y = 3,5$ – коэффициент усиления усилителя;

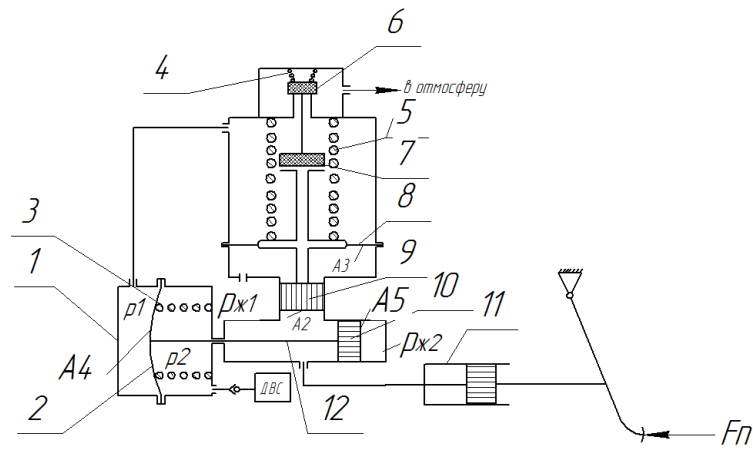
$F_n = 325$ Н – усилие на педаль тормоза;

$\eta_{п} = 0,96$ – КПД педального привода,

откуда:

$$d_{г} = \sqrt{\frac{4A_{г}}{\pi}}.$$

Для данного автомобиля выбираем усилитель тормозов гидровакуумного типа. Далее приведена методика определения основных параметров и построения статической характеристики гидровакуумного усилителя тормозного привода.



«1–исполнительное устройство; 2–мембрана; 3, 4, 5–пружины;
 6–атмосферный клапан; 7–вакуумный клапан; 8–резиновая мембрана;
 9–поршень следящего устройства; 10–поршень гидроцилиндра;
 11–ГТЦ; 12–шток; 13–следящее устройство»

Рисунок 3.6 – расчетная схема гидровакуумного усилителя тормозов

Из конструкторских соображений задаем значения:

- площадь поршня гидроцилиндра $A_5 = 4.7 \cdot 10^{-4} \text{ м}^2$;
- сила пружины 3 $F_{\text{пр}3} = 30 \text{ Н}$;
- сила пружины 5 $F_{\text{пр}5} = 70 \text{ Н}$.

Далее находится активная площадь A_4 мембраны 2 из формулы:

$$k_y = 1 + \frac{\Delta p_{\text{max}} A_4 - F_{\text{пр}3}}{F_{\text{п}} u_{\text{п}} \eta_{\text{п}}} \cdot \frac{A_{\text{г}}}{A_5}, \quad (3.48)$$

где $\Delta p_{\text{max}} = 0.06 \text{ МПа}$ – приращение давлений p_1 и p_2 .

Площадь поршня следящего устройства A_2 и резиновой мембраны A_3 выбираются т.о., чтобы обеспечивать необходимый коэффициент усиления k_y .

В режиме без усилителя статическая характеристика строится по формуле:

$$p_{\text{ж}2} = \frac{F_{\text{п}} u_{\text{п}} \eta_{\text{п}}}{A_{\text{г}}}. \quad (3.49)$$

В режиме следящего действия (линия брисунок 2.7):

$$p_{\text{ж}2} = \frac{F_{\text{п}} u_{\text{п}} \eta_{\text{п}}}{A_{\text{г}} A_5} \frac{A_2 A_4}{A_3} + A_5 + \frac{F_{\text{пр}5} A_4}{A_3 A_5} - \frac{F_{\text{пр}3}}{A_3}. \quad (3.50)$$

В режиме постоянного усиления (линия брисунок 2.7):

$$p_{\text{ж}2} = \frac{\Delta p_{\text{max}} A_4 - F_{\text{пр}3}}{A_5} + \frac{F_{\text{п}} u_{\text{п}} \eta_{\text{п}}}{A_{\text{г}}}. \quad (3.51)$$

РТМ, применяемый в данном автомобиле, выполнен в виде дифференциального клапана.

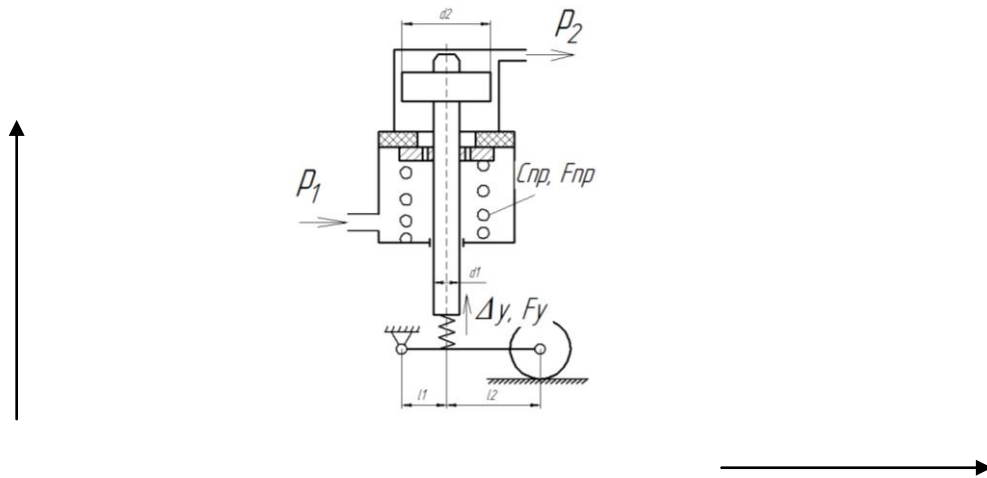


Рисунок 3.7 – Расчетная схема дифференциального клапана

«Определению подлежат следующие параметры:

- 1) диаметр штока d_1 и диаметр поршня d_2 ;
- 2) усилие пружины поршня $F_{пр}$;
- 3) передаточное число привода РТМ $u_{п} = \frac{l_1 + l_2}{l_1}$;
- 4) усилие упругого элемента РТМ F_y ;
- 5) жесткость упругого элемента РТМ c_y »

Для построения графика зависимости деформации упругого элемента задне-й подвески при аварийном торможении от давления p_1 в переднем контуре (рисунок 2.10), воспользуемся формулой:

$$\Delta = \frac{G_a a}{c_{п2}} - \frac{k_1 p_1 + k_2 p_2}{r_{к0}} \cdot \frac{h_c}{L c_{п2}}, \quad (3.52)$$

где G_a – вес авто;

$q_2 = 1864 \text{ Н}$ – вес непрессоренной массы;

a – расстояние от ЦМ до переднего моста автомобиля;

h_c – высота ЦМ;

$L = 2,85 \text{ м}$ – база авто;

$c_{п2} = 7,93e + 4 \frac{\text{Н}}{\text{м}}$ – суммарная жесткость задней подвески;

k_1, k_2 –

коэффициент пропорциональности между давлением в тормозном приводе и моментом трения тормозного механизма переднего и заднего соответственно.

Задавшись $d_1=30$ мм и $u_{пр}=4$, находим c_y :

$$c_y = \frac{u_{пр}}{\Delta_b - \Delta_a} \cdot \frac{\pi d_1^2}{4} \cdot p_{1б} - p_{1а} \quad (3.53)$$

Находится преднатяг пружины РТМ. В первом приближении можно считать, что $F_{пра} \approx F_{прб}$:

$$F_{пр} = \frac{\pi d_1^2}{4} p_{1а} - \frac{c_y}{u_{пр}} \Delta_a \quad (3.54)$$

Диаметр поршня РТМ d_2 находят, решая систему уравнений:

$$k_p = 1 - \frac{d_1^2}{d_2^2} \quad (3.55)$$

$$k_p = \operatorname{tg} \alpha$$

Таблица 3.9 – Параметры тормозного привода

| Параметр | обозначение | значение |
|---|-------------|----------|
| диаметр КТЦ, см: | | |
| - передний | d_{k1} | 4,6 |
| - задний | d_{k2} | 3,4 |
| диаметр ГТЦ, см | d_z | 2,5 |
| Активная площадь мембраны усилителя, м ² | A_4 | 0,046 |
| Площадь поршня следащего устройства, м ² | A_2 | 1,13e-4 |
| Площадь резиновой мембраны, м ² | A_3 | 31e-4 |
| Координаты точки а: | | |
| - p1а, МПа | | 6,404 |
| - p2а, МПа | | 6,404 |
| Координаты точки б: | | |
| - p1б, МПа | | 7,615 |
| - p2б, МПа | | 7,615 |
| Угола, град | | 8 |
| Деформация упругого элемента, м: | | |
| - полная масса | Δ_b | 0,096 |
| - снаряженная масса | Δ_a | 0,025 |
| Жесткость упругого элемента РТМ, Н/м | c_y | 4,82e+4 |
| преднатяг пружины РТМ, Н | $F_{пр}$ | 42 |
| Диаметр поршня РТМ, мм | d_2 | 32,36 |

4 Технологическая часть

«Сборка является завершающим этапом процесса производства. Трудоёмкость сборки составляет 30% всей трудоёмкости изготовления машин. Сборка органически связана со всеми предшествующими процессами; при создании же машин высокого качества сборка принадлежит решающая роль. Поэтому сборочным работам в машиностроении должно быть уделено особое внимание.

Технологический процесс сборки – это совокупность операций по соединению деталей в определённой последовательности.

Сборка производится преимущественно на том же заводе, где изготавливаются основные детали этого изделия.»

«Процесс сборки играет весьма существенную роль в общем цикле мероприятий по улучшению качества продукции. На повышение качества изделия можно оказывать влияние не путём совершенствования технологии и её оснащённости средствами механизации, автоматизации и контроля, организационных улучшений, к которым относится организация производства и труда, повышение квалификации работников, достижение ритмичности процессов сборки, экономического воздействия через систему оплаты труда и материальную заинтересованность сборщиков в повышении качества.

Кроме того, при разработке технологии и сборки узлов наиболее ярко проявляются свойства изделия, наиболее точно определяется процесс работы данного узла и, так как сборка – наименее автоматизированный процесс, то есть возможность рационализировать процесс сборки путём использования автоматов.»

Завершающий этап производства (сборка) является процессом, который позволяет досконально изучить конструкцию собираемого узла или агрегата и который наименее автоматизирован, он был выбран в качестве технологической части дипломного проекта. Это позволяет разработать технологический процесс таким обр

азом, чтобы максимально облегчить труд человека путём введения, где это возможно, механизированного оборудования.

4.1 Выбор типа производства

Тип производства главным образом зависит от двух факторов: заданной программы выпуска и технологичности изделия. В соответствии с ГОСТ 3.1108-74 тип производства характеризуется коэффициентом закрепления операции.

$$k_{30} = \frac{n_0}{S},$$

где n_0 – число различных операций технологического процесса;
 S – число рабочих мест, на которых эти операции выполняются.

Расчётное количество рабочих мест:

$$S_p = \frac{t_{cp} n_0}{\tau},$$

где t_{cp} – среднее время на установку одной детали или сборочной единицы, мин./шт. Для автотомобильных производств значение t_{cp} принимается в диапазоне от 0,1 до 0,5 мин./шт.;
 τ – темп выпуска, мин./шт.

$$\tau = \frac{60 \Phi_{гд}}{N} = \frac{60 \cdot 4015}{30000} = 8 \text{ мин./шт.}$$

$$S_p = \frac{0,25 \cdot 148}{8} = 4,62.$$

Расчётное количество рабочих мест принимаем равное 5.

Коэффициент закрепления операций:

$$k_{30} = \frac{148}{5} = 29,6.$$

Тип производства – мелкосерийный ($20 < k_{30} < 40$);

метод производства – поточный;

темп выпуска – 8 мин./шт.

4.2 Выбор маршрута сборки

«Маршрут –

это последовательность, с которой детали и сборочные единицы более низкого уровня при сборке соединяются в изделие.

Маршрут сборки оказывает большое влияние на компоновку сборочного оборудования, на возможность автоматизации отдельных переходов, на осуществление необходимого контроля точности соединений и, таким образом, на эффективность процесса в целом.»

«Первой деталью, с которой начинается процесс сборки, обычно является корпус изделия, однако, в тех случаях, когда корпусная деталь в сборочной единице отсутствует, а также при установке следующих деталей, как правило, можно наметить несколько вариантов маршрутов. Выбор оптимального варианта маршрута является сложной задачей, правильность её решения определяется только заключительных этапах проектирования, в результате затрат большого труда на проработку каждого варианта. Число вариантов, взятых на проработку, можно сократить, если использовать следующие два признака оптимального маршрута:

1. Лучшим является тот маршрут сборки, который обеспечивает минимальное количество перебазирования изделия;

2. Маршрут должен обеспечить удобство установки деталей и возможность контроля качества соединений.

При разработке маршрута сборки, а также для его лучшего представления, удобно пользоваться графической схемой, в которой даётся необходимая информация о деталях и последовательности их установки в изделие.»

4.3 Определение уровня автоматизации сборочных работ

«Дифференцируя сборочный процесс на элементарные составляющие, можно выделить следующие главные движения: транспортирование изделий, его установка на позиции сборки, ориентация деталей в пространстве, поштучная выдача в зону сборки, сопряжение, силовое замыкание и контроль качества сборки. Выполнение этих действий может осуществляться различными техническими средствами. В зависимости от того, какими способами, ручными или механизированными, вы

полняются элементарные действия сборочного перехода, технологические процессы сборки разделяются на четыре группы уровней:

1–

ручная сборка. К этой группе относятся процессы, в которых пространственная ориентация деталей, их поштучная выдача в зону сборки, силовое замыкание, перемещение изделия, установка изделия на позиции сборки выполняется вручную. Оборудование для сборки в этом случае служат верстаки, сборочные стелды, рольганги, ручной инструмент, универсальные приспособления.

2–

механизированная сборка. В этом случае силовое замыкание деталей, а также установка изделий на позиции сборки могут осуществляться механизмами, например, таковыми как одно- и многошпиндельный механизированный гайковерт. Используется однопозиционное и многопозиционное сборочное оборудование, управляемое вручную, с фиксацией изделия на позиции сборки.

3–

автоматизированная сборка. В этой группе пространственная ориентация деталей, поштучная выдача, сопряжение деталей и управление исполнительными механизмами могут выполняться как вручную, такими механизмами. Ручной труд максимум механизирован и применяется только для сборки плохо ориентируемых деталей при сложном доступе к месту установки.

4–

автоматическая сборка. Здесь все сборочные позиции оборудования работают в автоматическом цикле.»

Класс сборочного оборудования реализован в виде многопозиционных станков и линий. В зависимости от работы отдельных позиций этот класс включает оборудование последовательного, параллельного и последовательно-параллельного действия.

Оборудование последовательного действия представляет собой многопозиционные станки и линии, в которых сборочные позиции располагаются только по

ледовательно, а переходы на каждой операции могут осуществляться не только последовательно, но и последовательно-параллельно.

К сборочному оборудованию с параллельно действующими позициями могут относиться станки роторного типа, а также линии, где на каждой позиции выполняется аналогичный объем сборочных работ.

При сборке тормозных механизмов должно использоваться механизированный процесс, т.к. полностью автоматическая и автоматизированная сборка неприменимы из-

за того, что они используются при массовом производстве, и ручной труд либо полностью отсутствует, либо используется, но незначительно, что объясняется типом производства. Но ручная сборка применяться не может, так как она используется при единичном или мелкосерийном производстве.

Таким образом, механизированная сборка является самым оптимальным процессом, который позволяет облегчить труд человека и сократить время на каждой операции.

5 Безопасность и экологичность объекта

5.1 Влияние транспортных средств с антиблокировочной системой на безопасность водителя

«При нормальном торможении поток тормозной жидкости в неизменном виде течет через модулирующий клапан к тормозным механизмам. Если же колесо начинает блокироваться, впускной (или изолирующий) модулирующий клапан закрывается, предупреждая тем самым увеличение давления в тормозе. Однако если колесо остается заблокированным, открывается выпускной модулирующий клапан, который уменьшает давление. В некоторых системах имеется аккумулятор, в котором хранится жидкость, вышедшая через выпускной модулирующий клапан, а также насос, который закачивает эту жидкость обратно в резервуар главного тормозного цилиндра или в напорные трубки.»

«Современные модели модуляторов используют самые различные методы управления. Многие модели имеют один или пару клапанов для каждого гидроконтур, где каждый клапан приводится в действие электрическим соленоидом. Один клапан, впускной, при нормальной работе тормозов открыт и позволяет тормозной жидкости свободно циркулировать между главным тормозным цилиндром и колесным цилиндром или суппортом.

Другой клапан, выпускной, в этом случае остается закрытым. Когда он открывается, жидкость течет от колесного цилиндра или суппорта в резервуар главного тормозного цилиндра. Если происходит блокировка колеса. ЭКМТ закрывает впускной клапан, предупреждая тем самым увеличение давления в тормозном механизме. Однако если и в этом случае колесо не разблокируется, он, открывает выпускной клапан, уменьшая тем самым давление.»

При нормальном торможении в системе фирмы Бош тормозная жидкость проходит через контрольные клапаны. Во время этапа фиксации

давления электромагнитный клапан сдвигается в срединное положение. При уменьшении давления сдвигается полностью, открывая выпускное отверстие, и насос, закачивающий тормозную жидкость назад, приводится в действие и возвращается в главный тормозной цилиндр при выключении тормозов. Проблема, которая может возникнуть из-за этой системы на некоторых моделях автомобилей — это продавливание педали тормоза во время каждого цикла работы модулятора. Приблизительно за восемь циклов педаль может продавиться до самого пола, поэтому ее надо подкачивать с помощью насоса, чтобы она нормально работала.

«В некоторых механизмах фирмы Бош вместо насоса используется выпускной клапан. Во время фазы уменьшения давления жидкость закачивается от клапана со стороны колесного цилиндра к клапану со стороны главного тормозного цилиндра или в корпус главного тормозного цилиндра. Когда колесо снова начинает вращаться, клапаны занимают свое нормальное положение.

Скольжение колес может происходить и при ускорении движения автомобиля: в этом случае оно похоже на блокировку колес при торможении. Сила сцепления (далее — сцепление) с дорожным покрытием, как и при торможении автомобиля, во многом зависят от состояния дорожного покрытия и погодных условий. Система регулировки сцепления, которую также называют регулировкой сцепления, системой против заноса, системой против скольжения — это система, которая обнаруживает занос колеса и уменьшает его, когда этот занос происходит.»

Эта система контроля над скольжением при ускорении оснащена различными датчиками, способными обнаружить занос колеса (рис. слева). Она также применяет различные методы контроля над скольжением колес (рис. справа).

Занос колеса происходит в том случае, если вращающий момент ведущих колес оказывается большим, чем это допускает сила сцепления с дорожным покрытием. Если колесо заносит больше чем на 20%, сила

сцепления уменьшается. Из-за различия на ведущей оси колесо, страдающее от заноса, уменьшает вращающий момент другого ведущего колеса, которое от заноса не страдает. Занос колеса замедляет ускорение автомобиля, поскольку происходит уменьшение силы сцепления шины с дорожным покрытием. Также возможны занос автомобиля в сторону и даже поворот автомобиля, если занос колеса произошел на повороте. Кроме того, занос шин приводит к их преждевременному и неравномерному (одна шина изнашивается быстрее другой) износу.

«Система против заноса предусматривает обязательное наличие датчиков скорости вращения колес АБС и микропроцессора. Микропроцессор сравнивает скорость вращения обоих ведущих колес друг с другом и со скоростью вращения неведущих колес. Чрезмерная скорость одного из ведущих колес свидетельствует о заносе колеса. В зависимости от модели системы контроль над заносом колеса осуществляют одним или сразу несколькими из следующих методов: включение тормоза этого колеса (на заднеприводных автомобилях), уменьшение вращающего момента двигателя путем замедления подачи сигнала, закрытие дроссельной заслонки (подачи газа), перекрытие одного или нескольких каналов подачи топлива.»

5.2 Методика испытаний тормозной системы автомобиля

Существует три типа испытаний тормозного управления: тип 0 (испытание эффективности при холодных тормозах); тип I (испытания на потерю эффективности); тип II (поведение транспортного средства на затяжных спусках). Испытания тип а0.

«Общие положения:

-
тормоза должны быть холодными; тормоз считается холодным, если температура, измеренная на тормозном диске или с наружной стороны тормозного барабана, ниже 100 град. Цельсия.

транспортное средство должно быть груженым, причем распределение его массы между осями должно соответствовать распределению, указанному заводом-изготовителем. В том случае, когда предусматривается несколько вариантов распределения нагрузки между осями, распределение максимальной массы должно быть таким, чтобы нагрузка на каждую ось была пропорциональна максимальной допустимой нагрузке для каждой оси. В случае автотранспортных средств, которые могут буксировать полуприцеп, нагрузка может быть приложена примерно наполовину расстояния между положением шкворня, определяемым упомянутыми выше условиями нагрузки, и центральной линией задней оси.

-
каждое испытание должно выполняться на порожнем транспортном средстве.

- дорога должна быть горизонтальной.

Испытания типа 0 с подсоединенным двигателем.»

«Проводятся испытания на различных скоростях, причем самая низкая скорость равняется 30% от максимальной скорости, а самая высокая скорость составляет 80% от максимальной

Дальнейшие испытания должны проводиться с подсоединенным двигателем, начиная с скорости, предписанной для данной категории транспортного средства. При этом должна быть достигнута минимальная эффективность, предписанная для каждой категории.»

«Испытания типа I.

- при многократном торможении

-
испытание рабочих тормозов всех механических транспортных средств производится путем ряда последовательных торможений груженого транспортного средства.

-
во время торможения двигатель остается подсоединенным при самом высоком передаточном числе трансмиссии.

Для механических транспортных средств эта эффективность нагретых торм

озовдолжна составлять не менее 80% величины, предписываемой для указанной категории, и не менее 60% величины, зарегистрированной при испытании типа 0 с тс с соединенным двигателем.»

«Испытания типа II.

Испытания груженых транспортных средств обязаны проводиться таким образом, чтобы поглощаемая энергия являлась эквивалентна энергии, производимой за тот же промежуток времени при движении груженого транспортного средства с средней скоростью 30 км/ч по спуску с уклоном 6% на расстоянии 1 км с включением соответствующей передачи. В случае транспортных средств, в которых энергия поглощается только за счет торможения двигателем, для средней скорости допускается отклонение 5 км. Испытание производится на передаче, которая позволяет на спуске с уклоном 6% стабилизировать скорость возможно ближе к значению 30 км/ч. Если определение эффективности торможения только двигателем осуществляется посредством измерения замедления, достаточно, чтобы измеренное среднее значение замедления составляло по крайней мере 0,5 м/сек. В конце испытаний в тех же условиях, в которых было произведено испытание типа 0 с тс с соединенным двигателем, измеряется эффективность нагретых рабочих тормозов. Для механических транспортных средств эта эффективность нагретых рабочих тормозов должна обеспечивать тормозной путь.

Ввиду большого значения свойств, определяющих безопасность автомобиля, их регламентация является предметом ряда международных документов. Тормозные свойства регламентируются Правилами № 13 Комитета по внутреннему транспорту Европейской Экономической Комиссии Организации объединенных наций (ЕЭКООН). В соответствии с этими правилами разрабатываются национальные стандарты.

Оценочными показателями эффективности тормозной системы являются установившееся замедление $j_{уст}$, соответствующее движению автомобиля при постоянном усилии воздействия на тормозную педаль и минимальный тормозной путь S_T – расстояние, проходимое от момента нажатия на педаль до остановки.»

6 Эффективность проекта

6.1 Расчет затрат

Весь комплекс опытно-конструкторских работ включает три этапа: проектирование узла, изготовление опытной партии, испытания узлов и корректировку конструкторской документации.

Таблица 6.1 – Расчёт трудоёмкости и продолжительности работ

| Работа | Формат | Кол-во | Группа сложности детали | Норма | Трудоёмкость | Кол-во исполнителей | Продолжительность, дни |
|--|--------|--------|-------------------------|-------|--------------|---------------------|------------------------|
| Разработать сборочный чертеж | A2 | 2 | – | 1,5 | 3 | 1 | 3 |
| Составить ведомость покупных изделий | A4 | 1 | – | 0,7 | 0,7 | 1 | 0,7 |
| Составить пояснительную записку | A4 | 30 | – | 0,5 | 15 | 2 | 7,5 |
| Разработать чертежи деталей | | | | | | | |
| Суппорт | A3 | 1 | 3 | 0,4 | 0,4 | 1 | 0,4 |
| Скоба | A3 | 1 | 4 | 0,6 | 0,6 | 1 | 0,6 |
| Колесный цилиндр | A3 | 1 | 3 | 0,4 | 0,4 | 1 | 0,4 |
| Поршень | A4 | 1 | 2 | 0,12 | 0,12 | 1 | 0,12 |
| Колодка | A4 | 1 | 3 | 0,3 | 0,3 | 1 | 0,3 |
| Диск | A2 | 1 | 2 | 0,24 | 0,24 | 1 | 0,24 |
| Ступица | A2 | 1 | 3 | 0,4 | 0,4 | 1 | 0,4 |
| Палец | A4 | 1 | 2 | 0,12 | 0,12 | 1 | 0,12 |
| Штуцер | A4 | 1 | 2 | 0,12 | 0,12 | 1 | 0,12 |
| Защитный кожух | A3 | 1 | 2 | 0,15 | 0,15 | 1 | 0,15 |
| Уплотнительное кольцо | A4 | 1 | 2 | 0,12 | 0,12 | 1 | 0,12 |
| Защитный чехол поршня | A4 | 1 | 2 | 0,12 | 0,12 | 1 | 0,12 |
| Защитный чехол | A4 | 1 | 2 | 0,12 | 0,12 | 1 | 0,12 |
| Всего: 41 лист, 3 исполнителя, трудоёмкость 19.5 чел. - дней, продолжительность 15 дней. | | | | | | | |

6.2 Расчёт себестоимости проектируемого изделия при промышленном производстве

Оценку себестоимости включает следующие этапы: расчет затрат на основные материалы, расчет затрат на покупные комплектующие изделия, расчет заработной платы основных рабочих, калькулирование себестоимости узла.

6.2.1 Расчёт затрат на основные материалы

Норма расхода материала на одну деталь:

$$H_p = G_{дет} / K_{ум}$$

$$H_{p(диск)} = 6,18 / 0,65 = 9,5 \text{ кг.}$$

Цена материала отливок штамповок:

$$Ц = Ц_б K_{сн} K_m K_{мп} K_{вып};$$

где $K_{сн}$ коэффициент сложности, $K_{сн} = 1,1$;

K_m коэффициент, зависящий от массы детали, $K_m = 1$;

$K_{мп}$ коэффициент, зависящий от марки материала, $K_{мп} = 1$;

$K_{вып}$ коэффициент, зависящий от годового выпуска,

$$K_{вып} = 0,9 + 7 / B_z = 0,9 + 7 / 30000 = 0,9.$$

$$Ц_{суппорт} = Ц_б \cdot 1,1 \cdot 1 \cdot 1,2 \cdot 0,9 = 50 \cdot 1,1 \cdot 1 \cdot 1,2 \cdot 0,9 = 59,4 \text{ руб/кг}$$

$$Ц_{скоба} = Ц_б \cdot 1,1 \cdot 1 \cdot 1,2 \cdot 0,9 = 81,5 \cdot 1,1 \cdot 1 \cdot 1,2 \cdot 0,9 = 96,8 \text{ руб/кг}$$

$$Ц_{колесн.цил} = Ц_б \cdot 1,1 \cdot 1 \cdot 1,2 \cdot 0,9 = 50 \cdot 1,1 \cdot 1 \cdot 1,2 \cdot 0,9 = 59,4 \text{ руб/кг}$$

$$Ц_{ступица} = Ц_б \cdot 1,1 \cdot 1,4 \cdot 0,9 = 35 \cdot 1,1 \cdot 1,4 \cdot 0,9 = 44,1 \text{ руб/кг}$$

$$Ц_{диск} = Ц_б \cdot 1 \cdot 0,8 \cdot 2 \cdot 0,9 = 35 \cdot 1 \cdot 0,8 \cdot 2 \cdot 0,9 = 50,4 \text{ руб/кг.}$$

Таблица 6.2 – Затраты на основные материалы по каждому наименованию детали

| Наименование | Марка материала | Вид заготовки | Чистая масса детали, кг | КИМ | Норма расхода на деталь, кг | Цена материала | Кол-во деталей | Затраты на узел |
|-----------------------|-----------------|---------------|-------------------------|------|-----------------------------|----------------|----------------|-----------------|
| Суппорт | 30 | отливка | 0,4 | 0,5 | 0,8 | 59,4 | 1 | 27 |
| Скоба | 40Х | отливка | 0,3 | 0,75 | 0,4 | 96,8 | 1 | 44 |
| Колесный цилиндр | 20 | отливка | 0,6 | 0,5 | 1,2 | 59,4 | 1 | 40 |
| Поршень | 30 | прокат | 0,1 | 0,4 | 0,25 | 16 | 2 | 8 |
| Колодка | 20 | лист | 0,15 | 0,75 | 0,2 | 13,6 | 2 | 6 |
| Диск | 20ХНЗА | поковка | 6,18 | 0,65 | 9,51 | 50,4 | 1 | 405 |
| Ступица | 35Х | поковка | 2,5 | 0,5 | 5 | 44,1 | 1 | 186 |
| Палец | 30 | прокат | 0,05 | 0,45 | 0,11 | 12 | 2 | 3 |
| Штуцер | 10 | прокат | 0,005 | 0,45 | 0,01 | 15,6 | 2 | 0,5 |
| Защитный кожух | 10 | хол.штамповка | 0,06 | 0,85 | 0,07 | 14,4 | 1 | 2 |
| Уплотнительное кольцо | резина | лист | 0,002 | 0,5 | 0,004 | 120 | 2 | 0,6 |
| Защитный чехол поршня | резина | штамповка | 0,003 | 0,85 | 0,004 | 150 | 2 | 0,8 |
| Защитный чехол | резина | штамповка | 0,002 | 0,85 | 0,003 | 120 | 2 | 0,6 |

6.2.2 Определение затрат на покупные комплектующие детали изделия

Таблица 6.3 – Спецификация покупных комплектующих деталей изделий

| №п/п | Наименование | Характеристика | Кол-во | Цена, руб./шт. | Сумма, руб. |
|------|--------------|---------------------------|--------|----------------|-------------|
| 1 | Болт | М8х25 ГОСТ7805-70 | 2 | 1,79 | 3,58 |
| 2 | Болт | М12х1.5х35 ГОСТ7808-70 | 2 | 2,6 | 5,2 |
| 3 | Винт | М8х30 ГОСТ11738-84 | 3 | 6 | 18 |

6.2.3 Заработная плата основных рабочих

Эффективный годовой фонд рабочего времени рассчитывается по формуле:

$$F_{\text{эфф.год}} = (365 - D_{\text{вс}} - D_{\text{пр}}) \cdot T_{\text{см}} - D_{\text{пред}} \cdot T_{\text{см.пред}} = (365 - 104 - 10) \cdot 8 - 7 \cdot 1 = 2001$$

час.

где $D_{\text{вс}}$ – количество выходных дней;

$D_{\text{пр}}$ – количество праздничных дней;

$T_{\text{см}}$ – количество часов в смену, 8 часов. Режим работы – односменный.

$D_{\text{пред}}$ – количество предпраздничных дней;

$T_{\text{см.пред}}$ – количество сокращенных часов в смену в предпраздничный день, 1 час.

Среднее количество рабочих дней в месяце рассчитывается по формуле:

$$D_{\text{ср}} = \frac{F_{\text{эфф}}}{12 \cdot T_{\text{см}}} = \frac{2001}{12 \cdot 8} = 20,8 \text{ дней.}$$

Заработная плата исполнителей в день рассчитывается по формуле:

$$O_{\text{ср.день}} = \frac{O_{\text{срi}}}{D_{\text{срi}}},$$

где $O_{\text{срi}}$ – должностной оклад работника.

$$Z_{\text{итр}} = O_{\text{ср.день}} \times T_p;$$

где T_p – трудоемкость, чел/дн.

Расчет заработной платы исполнителей за проработанное время представим в таблице 6.4.

Таблица 6.4 – Длительность работы и заработная плата исполнителей

| Должность | Кол-во исполнителей, чел. | Трудоемкость, чел/дней | Заработная плата в день, руб. | Заработная плата, руб. |
|----------------------|---------------------------|------------------------|-------------------------------|------------------------|
| Маркетолог | 1 | 12 | 435,1 | 5221,2 |
| Ведущий инженер | 1 | 15 | 534,09 | 8011,35 |
| Инженер II категории | 1 | 84 | 445,1 | 37388,4 |
| Итого | | | | 50620,95 |

Заработная плата производственных рабочих рассчитывается по формуле:

$$Z_{np} = S_{ch} \cdot g \cdot t_i$$

где S_{ch} – часовая тарифная ставка соответствующего разряда;
 g – продолжительность рабочего дня;
 t_i – трудоемкость выполнения работ

Расчет заработной платы производственных рабочих представим в таблице 6.5.

Таблица 6.5 – Тарифная заработная плата производственных рабочих

| Специальность | Тарифная ставка, S_{ch} | Продолжительность рабочего дня, час | Трудоемкость, дней | Зарплата, руб. |
|-----------------------------|---------------------------|-------------------------------------|--------------------|----------------|
| Слесарь-сборщик III разряда | 34,97 | 8 | 4 | 1119,04 |

Основная заработная плата производственных рабочих:

$$Z_{осн} = Z_{тар} \cdot (1 + K_{пр}) = 1119,04 \cdot (1 + 0,28) = 1432,37 \text{ руб.},$$

где $K_{пр}$ – коэффициент премий и доплат, связанных с работой на производстве;

$Z_{тар}$ – тарифная заработная плата производственных рабочих, руб.

Дополнительная заработная плата производственных рабочих

$$Z_{доп} = Z_{осн} \cdot K_{доп} = 1432,37 \cdot 0,16 = 229,18$$

где $K_{доп}$ – доплаты и выплаты, не связанные с работой на производстве, $K_{доп} = 16\%$.

Суммарная заработная плата исполнителей:

$$Z_{исп} = Z_{итр} + Z_{осн} + Z_{доп} = 50620,95 + 1432,37 + 229,18 = 52282,5 \text{ руб}$$

где $Z_{итр}$ – заработная плата инженерно-технических работников, руб.;

$Z_{осн}$ – основная заработная плата рабочих повременщиков, руб.

Отчисления на социальные нужды:

$$C_{соц} = Z_{исп} \cdot K_{соц} = 52282,5 \cdot 0,262 = 13698,02 \text{ руб}$$

$K_{соц}$ – коэффициент отчислений на социальные нужды.

6.3 Расчёт экономической эффективности проектируемого изделия

Определение экономической эффективности от снижения массы проектируемого изделия:

$$\mathcal{E}_{mat} = (Q_{баз} - Q_{пл}) \cdot Ц \cdot K_{прин};$$

где $Q_{баз}, Q_{пл}$ – масса в кг базового и планируемого изделий;

$Ц$ – оптовая цена металла в рублях за 1 кг;

$K_{прин}$ – коэффициент, учитывающий припуск на обработку материалов,

$K_{прин} = 1,28$.

$$\mathcal{E}_{mat} = (12 - 10,35) \cdot 18 \cdot 1,28 = 38,016 \text{ руб./шт.}$$

Экономический эффект в год:

$$\mathcal{E} = \mathcal{E}_{mat} \cdot B = 38,016 \cdot 30000 = 1140480 \text{ руб. в год.}$$

Таблица 6.6 – Технико-экономические показатели

| Наименование показателя | Единица измерения | Величина |
|---|-------------------|----------|
| Масса узла | кг | 10,3 |
| Продолжительность ОКР, всего | дней | 51 |
| проектирование | дней | 10 |
| технологическая подготовка производства | дней | 14 |
| Численность группы для выполнения ОКР | чел. | 32 |
| Сметная стоимость ОКР | руб. | 608461 |
| Годовой объем выпуска | шт. | 30000 |
| Полная себестоимость | руб. | 1285,48 |
| Удельная себестоимость | руб./кг | 119 |
| Экономический эффект | млн.руб. в год | 1,14 |

В данной части дипломного проекта были рассчитаны трудоёмкость и продолжительность опытно-конструкторских работ, рассчитана себестоимость узла при его промышленном производстве. Трудоёмкость опытно-конструкторских работ составила 650 чел.-дней, продолжительность 51 день. Себестоимость узла при его промышленном пр

производства составила 1285,48 руб. Сметная стоимость ОКР 608461 руб. Также был рассчитан экономический эффект от внедрения данного узла и он составил 1,14 млн руб. в год, при годовом объеме выпуска 30000 штук.

ЗАКЛЮЧЕНИЕ

В дипломном проекте проведено проектирование тормозной системы легкового автомобиля с АБС.

Спереди установлены дисковые тормозные механизмы жестко закрепленные суппортом вентилируемые тормозными дисками. Это решение приводит к снижению массы диска, так и к улучшению его теплоотдачи.

В исследовательском разделе проведено патентное изыскание, позволившее ознакомиться с существующими конструкциями, проанализировать их достоинства и недостатки и выбрать расчетную оптимальную схему.

В конструкторском разделе проведено тягово-динамический расчет автомобиля, позволивший получить представление о динамических параметрах автомобиля в характерных режимах его движения. Выбрана компоновочная схема тормозной системы и проведено ее динамический расчет. Кроме того, проведен прочностной расчет тормозного диска и тормозной скобы.

В технологическом разделе обоснован тип производства с определением уровня автоматизации сборочных работ.

В проекте приведены общие требования к безопасности и экологичности транспортных средств методики испытаний тормозных систем.

Организационно-экономический анализ показал эффективность конструкторских решений. Определены себестоимость каждой детали и тормозного механизма в целом. Общий экономический эффект оказался положительным. Полная себестоимость составила 1285,48 руб. Общий экономический эффект составил 1,14 млн. руб. в год.

СПИСОК ИСПОЛЬЗУЕМЫХ ИСТОЧНИКОВ

1. Афанасьев, В.Н. Динамические системы управления с неполной информацией: алгоритмическое конструирование / В.Н. Афанасьев. – М.: КомКнига, 2007.

2. Ахметшин, А.М. Адаптивная антиблокировочная тормозная система колесных машин: дис. ... д-ратехн. наук: Ахметшин Альберт Махмутович. – Москва, 2003. – 255 с.

3. Байкалов, В.А. Теория автомобиля. Расчет оценочных показателей маневренности и тормозной динамики автопоездов: Учеб. Пособие / В.А. Байкалов, С. Н. Городецкий, Г. С. Гришко. – Красноярск: ИПЦ КГТУ, 2006.

4. Галимзянов, Р.К. Тяговый расчет автомобиля с механической трансмиссией: Учебное пособие / Р.К. Галимзянов. – Челябинск: ЮУрГУ, 1998. – 42 с.

5. Гируцкий, О.И. Электронные системы управления агрегатами автомобиля / О.И. Гируцкий, Ю.К. Есиновский-Лашков, Д.Г. Поляк. – М.: Транспорт, 2000. – 213 с.

6. Гришкевич, А.И. Автомобили: Теория: Учебник для вузов / А.И. Гришкевич. – М.: Высш. шк. – 1986. – 208 с.

7. Гуревич, Л.В. Тормозное управление автомобиля / Л.В. Гуревич, Р.А. Меламуд. – М.: Транспорт, 1978. – 66 с.

8. Кравец, В.Н. Теория автомобиля / В.Н. Кравец. Н. Новгород: НГТУ, 2007. – 368 с.

9. Литвинов, А.С. Автомобиль: Теория эксплуатационных свойств: Учебник для вузов по специальности «Автомобилии автомобильное хозяйство» / А.С. Литвинов, Я.Е. Фаробин. – М.: Машиностроение, 1989. – 240 с.

10. Лукин, П.П. Конструирование и расчет автомобиля / П.П. Лукин. – М.: Машиностроение, 1984. – 376 с.

11. Ломакин, В.В. Безопасность автотранспортных средств. Учебник для студентов вузов, обучающихся по специальности «Автомобиле-и тракторостроение» /В.В. Ломакин. – М.: МГТУ МАМИ, 2011. – 299 с.
12. Осепчугов, В.В. Автомобили: анализ конструкций, элементы расчета / В.В. Осепчугов, А.К. Фрумкин.–М.: Машиностроение, 1989.–304с.
13. Путин, В.А. Шины колес легковых автомобилей / В.А. Путин.– Челябинск, 2000. –132с.
14. Туренко, А.Н. Функциональный расчет тормозной системы автомобиля с барабанными тормозами / А.Н. Туренко, В.А. Богомолов, В.И. Клименко.– Киев: УМКВО, 1990.–138с.
15. Федосов, А.С. Методические указания к курсовому проекту по дисциплине «Автотранспортные средства». Раздел «Определение основных параметров проектируемого автотранспортного средства (автомобиля)» /А.С. Федосов, Н.Н. Алекса.– Харьков: ХАДИ, 1991.–32с.
16. Wong J.V. Theory of Ground Vehicles/J.V. Wong. New York: John Wiley and Sons, 2001. Pp. 130-131.
17. WABCO. Systems And Components In Commercial Vehicles. -2003. - Version 002.09.01 p. – 35 p.
18. A Division WABCO Standard GmbH. Vario Compact ABS System documentation. 2002 edition. – 47 p.
19. A Division Knorr-Bremse AG. Brake control and Chassis Management. Centers of competence. 2002 edition. – 53p.
20. Kienhöfer, F. An Investigation of ABS Strategies for Articulated Vehicles/F. Kienhöfer, D. Cebon//8th International Symposium on Heavy Vehicles Weights and Dimensions. –Midrand, South Africa. – 2004.38p.